



FernUniversität in Hagen

– Fakultät für Mathematik und Informatik –
Lehrgebiet Datenbanken und Informationssysteme

Multi-Layer Optimization Strategies for Enhanced Performance in Digital Editions: A Study on Database Queries, Caches, Java EE and JSF

Abschlussarbeit zur Erlangung des akademischen Grades
Bachelor of Science (B.Sc.)

vorgelegt von

Marco Galster

Matrikelnummer: 8335710

Referentin : Prof. Dr. Uta Störl

Betreuer : Tobias Holstein

ERKLÄRUNG

Ich erkläre, dass ich die Bachelorarbeit selbstständig und ohne unzulässige Inanspruchnahme Dritter verfasst habe.

Ich habe dabei nur die angegebenen Quellen und Hilfsmittel verwendet und die aus diesen wörtlich oder sinngemäß entnommenen Stellen als solche kenntlich gemacht.

Die Versicherung selbstständiger Arbeit gilt auch für enthaltene Zeichnungen, Skizzen oder graphische Darstellungen.

Die Arbeit wurde bisher in gleicher oder ähnlicher Form weder derselben noch einer anderen Prüfungsbehörde vorgelegt und auch nicht veröffentlicht.

Mit der Abgabe der elektronischen Fassung der endgültigen Version der Arbeit nehme ich zur Kenntnis, dass diese mit Hilfe eines Plagiatserkennungsdienstes auf enthaltene Plagiate geprüft werden kann und ausschließlich für Prüfungszwecke gespeichert wird.

Höchstadt, 29. September 2024

Marco Galster

ABSTRACT

The Letter Edition of the Wedekind Project makes the correspondence from Frank Wedekind available as an online full text database in order to focus research on Frank Wedekind. In order to increase the acceptance of the website so that more researchers can deal with the subject, the response time for inquiries is to be reduced.

This paper looks at the different layers of the application and the respective optimization options. A purely technical approach is chosen here, which is checked and evaluated using script-based measurements. The effects of the different caches, the query languages, a conversion of the queries to materialized views and the optimization possibilities of the queries are considered. views and the optimization possibilities of the queries.

It can be seen that the levels have different optimization options and that the caches are the simplest type of optimization, but instead require additional resources in terms of working memory. Converting the materialized view, including combining the underlying data into one line, shows the greatest potential for optimization. The processing time can also be reduced by converting the queries, but this is not very decisive due to the larger proportion of the ORM mapper.

ZUSAMMENFASSUNG

Die Briefedition des Wedekind-Projektes stellt die Korrespondenz von Frank Wedekind als Online-Volltextdatenbank zur Verfügung, um die Forschung an Frank Wedekind zu fokussieren. Um die Akzeptanz der Webseite zu erhöhen, damit sich weitere Forscher mit dem Thema beschäftigen, soll die Reaktionszeit für die Anfragen reduziert werden.

Diese Arbeit betrachtet die verschiedenen Layer der Anwendung und die jeweiligen Optimierungsmöglichkeiten. Hierbei wird ein rein technischer Ansatz gewählt, der durch skriptbasierte Messungen überprüft und ausgewertet wird. Betrachtet werden hierbei die Auswirkungen der verschiedenen Caches, die Abfragesprachen, eine Umstellung der Abfragen auf *Materialized Views* und die Optimierungsmöglichkeiten der Abfragen.

Es zeigt sich, dass die Ebenen unterschiedlich gute Optimierungsmöglichkeiten besitzen und die Caches die einfachste Art der Optimierung ist, stattdessen benötigen diese zusätzliche Ressourcen im Sinne des Arbeitsspeichers. Die Umstellung der *Materialized View* inklusive der Zusammenfassung der unterlagerten Daten in eine Zeile zeigt das größte Optimierungspotential. Durch die Umstellung der Abfragen kann ebenfalls die Verarbeitungszeit reduziert werden, dies ist durch den größeren Anteil des ORM-Mapper nicht stark ausschlaggebend.

INHALTSVERZEICHNIS

| | | |
|------|---|----|
| 1 | Einleitung | 1 |
| 1.1 | Ausgangslage | 1 |
| 1.2 | Ziel der Arbeit | 2 |
| 1.3 | Gliederung | 2 |
| 2 | Grundlagen | 4 |
| 2.1 | GlassFish - Enterprise Java Beans | 5 |
| 2.2 | GlassFish - Java Persistence API | 6 |
| 2.3 | GlassFish - OpenJPA Cache | 6 |
| 2.4 | PostgreSQL - Memory Buffers | 7 |
| 2.5 | PostgreSQL - Services | 7 |
| 2.6 | PostgreSQL - Abfragen | 8 |
| 3 | Konzept | 9 |
| 3.1 | Allgemeine Betrachtung des Systems | 9 |
| 3.2 | Untersuchung der Anwendung | 10 |
| 4 | Performance-Untersuchung | 15 |
| 4.1 | Überprüfung des Servers | 15 |
| 4.2 | Einbau und Aktivieren von Performance-Messung | 15 |
| 4.3 | Prüfung von Abfragen | 17 |
| 5 | Performance-Untersuchung der Anwendung | 19 |
| 5.1 | Caching im OpenJPA | 21 |
| 5.2 | Cached Queries | 23 |
| 5.3 | Caching mit Ehcache | 23 |
| 5.4 | Caching in EJB | 24 |
| 5.5 | Abfragen JPQL | 24 |
| 5.6 | Abfragen Criteria API | 26 |
| 5.7 | Materialized Views | 27 |
| 5.8 | Optimierung der Abfrage | 33 |
| 6 | Evaluierung | 38 |
| 6.1 | Nutzerumfrage | 38 |
| 6.2 | Umgestalten der Datenbanktabellen | 38 |
| 6.3 | Statische Webseiten | 39 |
| 6.4 | Client basierte Webseiten | 39 |
| 6.5 | Serverseitige Paginierung | 39 |
| 6.6 | Caching im OpenJPA | 39 |
| 6.7 | Cached Queries | 40 |
| 6.8 | Caching mit Ehcache | 40 |
| 6.9 | Caching in EJB | 41 |
| 6.10 | Abfragen mit JPQL und Criteria API | 41 |
| 6.11 | Materialized View | 42 |
| 6.12 | Optimierung der Abfrage | 43 |
| 7 | Zusammenfassung und Ausblick | 45 |
| 7.1 | Zusammenfassung | 45 |

| | |
|--------------------------------------|--------|
| 7.2 Ausblick | 46 |
| I Appendix | |
| A Zeitmessung der Webseite | 49 |
| B Docker Konfiguration | 52 |
| C Aufruf Skript | 54 |
| D JSF Performance Statistics Servlet | 60 |
| E JSF Performance Measure | 63 |
| Literatur | 65 |

ABBILDUNGSVERZEICHNIS

| | | |
|---------------|---------------------------------------|----|
| Abbildung 2.1 | Ablauf einer Web-Anfrage | 5 |
| Abbildung 5.1 | Visualisierung EXPLAIN | 34 |
| Abbildung 5.2 | Visualisierung EXPLAIN with | 36 |

TABELLENVERZEICHNIS

| | | |
|--------------|---|----|
| Tabelle 5.1 | Messung ohne Caches | 20 |
| Tabelle 5.2 | Messung ohne Caches im Docker | 21 |
| Tabelle 5.3 | Messung mit OpenJPA-Cache und Größe auf 1000 . . . | 22 |
| Tabelle 5.4 | Messung mit OpenJPA-Cache und Größe auf 10000 . . | 22 |
| Tabelle 5.5 | Messung mit OpenJPA-Cache und Größe auf 1000 und o SoftReference | 22 |
| Tabelle 5.6 | Messung mit aktiviertem Cached Queries | 23 |
| Tabelle 5.7 | Messung mit aktiviertem Ehcache | 24 |
| Tabelle 5.8 | Messung mit EJB-Cache | 24 |
| Tabelle 5.9 | Messung mit Criteria-API ohne Cache | 27 |
| Tabelle 5.10 | Messung mit Materialized View | 30 |
| Tabelle 5.11 | Messung mit erweiterter Materialized View | 31 |

LISTINGS

| | | |
|------|---|----|
| 3.1 | Generische Abfrage der Dokumentenliste | 10 |
| 3.2 | Sub-Abfrage pro Dokument | 12 |
| 3.3 | Persistence-Kontext Statistik | 13 |
| 4.1 | Ermitteln der PostgreSQL Einstellungen | 15 |
| 4.2 | Einbindung Factory | 16 |
| 4.3 | PostgreSQL Dateikonfiguration | 16 |
| 4.4 | PostgreSQL Ausgabekonfiguration | 16 |
| 4.5 | Aufruf von EXPLAIN | 17 |
| 5.1 | JPQL Dokumentenliste | 24 |
| 5.2 | Java JPQL Dokumentenliste | 25 |
| 5.3 | Criteria API Dokumentenliste | 26 |
| 5.4 | SQL Materialized View | 28 |
| 5.5 | SQL Materialized View | 29 |
| 5.6 | SQL Materialized View Erweiterung | 30 |
| 5.7 | DataTable mit Json | 32 |
| 5.8 | Wandeln von Json nach Html | 32 |
| 5.9 | Explain für Diagnose | 33 |
| 5.10 | Optimierung mit Common Table Expression | 35 |
| 5.11 | Index für Common Table Expression | 35 |
| 5.12 | Untersuchung searchdocument | 36 |
| 5.13 | Abfrageplan searchdocument | 37 |
| A.1 | Zeitmessung | 49 |
| B.1 | Docker-Compose | 52 |
| C.1 | Aufrufe des Unterstützungsscriptes | 54 |
| C.2 | Unterstützungsscript | 54 |
| D.1 | Performance Statistics Servlet | 60 |
| D.2 | Performance Statistics Provider | 60 |
| D.3 | Einbindung Servlet | 62 |
| E.1 | Vdi Logger | 63 |
| E.2 | Vdi Logger Factory | 64 |
| E.3 | Einbindung Factory | 64 |

ABKÜRZUNGSVERZEICHNIS

| | |
|------|-----------------------------------|
| EJB | Enterprise Java Beans |
| JSF | Java Server Faces |
| ORM | Object Relational Mapping |
| HTML | HyperText Markup Language |
| CSS | Cascading Style Sheets |
| SFSB | Stateful Session-Bean |
| JPA | Java Persistence API |
| JPQL | Java Persistence Query Language |
| API | Application Programming Interface |
| SQL | Structured Query Language |
| JVM | Java Virtual Machine |
| DBMS | Database Management System |

EINLEITUNG

Die Akzeptanz und damit die Verwendung einer Software hängt von verschiedenen Kriterien ab. Hierbei ist neben der Stabilität und der Fehlerfreiheit die Performance beziehungsweise die Reaktionszeit der Software ein sehr wichtiges Kriterium. Hierfür muss sichergestellt werden, dass die Anwendung immer in kurzer Zeit reagiert oder entsprechende Anzeigen dargestellt werden, um eine längere Bearbeitung anzuzeigen.

1.1 AUSGANGSLAGE

Die Grundlage zu dieser Arbeit bildet das DFG-Projekt „Edition der Korrespondenz Frank Wedekinds als Online-Volltextdatenbank“. Die folgende Übersicht hierzu ist eine Anlehnung an [Mar23].

Die Editions- und Forschungsstelle Frank Wedekind (EFFW) wurde 1987 in der Hochschule Darmstadt gegründet. Ihre Intention ist es, den lange vernachlässigten Autor der europäischen Moderne in die öffentliche Aufmerksamkeit zu bringen. Die Publikation der »Kritischen Studienausgabe der Werke Frank Wedekinds. Darmstädter Ausgabe« wurde direkt nach der Erschließung der Wedekind-Nachlässe in Aarau, Lenzburg und München begonnen und im Jahre 2013 abgeschlossen.

Da der 1864 geborene Frank Wedekind heute zu einen der bahnbrechenden Autoren der literarischen Moderne zählt, aber bisher sehr wenig erforscht wurde, soll sich dies nun ändern. Die nationalen und internationalen Korrespondenzen von und an Wedekind zeigen eine starke Vernetzung in der europäischen Avantgarde. Aktuell sind lediglich 710 der 3200 bekannten Korrespondenzstücke veröffentlicht worden.

Diese beinhalten substantiell das literarhistorische und kulturgeschichtliche Wissen über die Kultur zwischen 1880 und 1918, indem das überlieferte Material zum einen transkribiert editiert und zum anderen editionswissenschaftlich kommentiert wurde.

Um jenes zu verändern entstand das Projekt »Edition der Korrespondenz Frank Wedekind als Online-Volltextdatenbank«, welches bei der EFFW angesiedelt ist und als Kooperationsprojekt an der Johannes Gutenberg-Universität Mainz, der Hochschule Darmstadt und der Fernuni Hagen umgesetzt und durch die Deutsche Forschungsgemeinschaft (Bonn) gefördert wird.

Das entstandene Pilotprojekt ist eine webbasiert Anwendung, die aktuell unter <http://briefedition.wedekind.h-da.de> eingesehen werden kann. Hierbei wurden sämtliche bislang bekannte Korrespondenzen in dem System digitalisiert. Die Briefe selbst werden im etablierten TEI-Format gespeichert und über einen WYSIWYG-Editor von den Editoren und Editorinnen eingegeben.

Das Projekt wurde anhand von bekannten und etablierten Entwurfsmustern umgesetzt, um eine modulare und unabhängige Architektur zu gewährleisten, damit dies für weitere digitale Briefeditionen genutzt werden kann.

1.2 ZIEL DER ARBEIT

Die aktuelle Umsetzung beinhaltet die bisher definierten Anforderungen vollständig, darunter fallen die Recherchemöglichkeiten sowie auch die Eingabe und die Verarbeitung der Briefe. Ein größeres Problem hierbei ist die Performance der Oberfläche. Auf Grund der langen Abfragedauer des Datenbestandes leidet die Akzeptanz der Anwendung.

Das Ziel dieser Arbeit ist es, die Abfragedauer zu verringern, wodurch die Performance der Oberfläche signifikant verbessert wird.

1.3 GLIEDERUNG

Zu Beginn der Arbeit werden in Kapitel 2 die Struktur und der grundsätzliche Aufbau der Anwendung erklärt. Hierbei wird aufgezeigt an welchen Stellen es immer wieder zu Unstimmigkeiten kommen kann und wie diese zu überprüfen sind.

Nachfolgend werden in Kapitel 3 die Konzepte vorgestellt, die die Stellen ermitteln, welche eine schlechte Performance aufweisen und optimiert werden sollen. Hierzu gehören zum einen die Einstellungen der verwendeten Software, und zum anderen der Aufbau und die verwendeten Techniken in der Anwendung. Diese Techniken werden im weiteren Verlauf nochmal überprüft, ob eine alternative Lösung eine performantere Umsetzung bringen kann.

Bei den Performance-Untersuchungen in Kapitel 4 werden nun die Konzepte angewandt, um die Umgebung selbst zu untersuchen und die dort bekannten Probleme zu ermitteln. Diese werden direkt bewertet, unter den Gesichtspunkten, ob eine Optimierung an dieser Stelle sinnvoll ist oder ob der Arbeitsaufwand dafür zu aufwendig ist. Zusätzlich werden noch die Vorbereitungen und die angepassten Konfigurationen für die nachfolgenden Performance-Untersuchungen der Anwendung aufgezeigt.

Zuerst wird in Kapitel 5 die Ausgangsmessung durchgeführt, hierbei werden alle bekannten Caches deaktiviert und eine Messung durchgeführt. Dann werden Schicht für Schicht die Optimierungsmöglichkeiten aufgezeigt, umgesetzt und erneut gemessen. Diese Messung wird mit der Ausgangsmessung verglichen und bewertet.

Nach der Optimierung kommt nun die Evaluierung in Kapitel 6. Hier werden die verschiedenen Optimierungen begutachtet, in welchem Anwendungsfall die gewünschte Verbesserung in der Performance umgesetzt werden kann und welche für den vorliegenden Fall in der Praxis umsetzbar ist.

Zum Abschluss in Kapitel 7 werden alle Optimierungen zusammengefasst und eine Abwägung getroffen, unter welchen Gesichtspunkten die Anpass-

sungen eine sinnvolle Optimierung darstellen. Zusätzlich wird beschrieben wie ein weiteres Vorgehen durchgeführt werden kann.

Da die Anwendung als Webseite umgesetzt ist, ist der zugehörige Client für den Benutzer ein Webbrowser. Dies bedeutet, dass jeder Wechsel einer Seite oder eine Suchanfrage als Web-Request an den Server geschickt wird. Solch ein Web-Request geht durch mehrere Schichten des Server-System bis die Antwort an den Client zurückgesendet wird, wie in Abbildung 2.1 dargestellt.

Es wird ab hier von einem *GlassFish*-Server die Rede sein. In der Praxis wird ein *Payara*-Server verwendet. Der *GlassFish*-Server ist die Referenz-Implementierung von Oracle, welche für Entwickler bereitgestellt wird und die neuesten Features unterstützt. Der *Payara*-Server ist aus dessen Quellcode entstanden und ist für Produktivumgebungen gedacht, da dieser mit regelmäßigen Aktualisierungen versorgt wird. In diesem und dem folgenden Kapitel wird für beide Anwendungen der Begriff *GlassFish* verwendet.

Angefangen bei der Anfrage die über den Webbrowser an den Server gestellt wird und vom *GlassFish*-Server empfangen wird. In diesem wird anhand des definierten Routing entschieden, an welchen *Controller* im *Java Server Faces (JSF)* die Anfrage weitergeleitet und verarbeitet wird. In diesem wird die Darstellung der Webseite geladen und die Anfragen für den darzustellenden Datenbestand abgeschickt.

Die Datenanfragen werden über die *Enterprise Java Beans (EJB)* an die *Java Persistence API (JPA)* weitergeleitet. Hier wird nun geprüft, ob die Daten aus dem *OpenJPA Cache* direkt ermittelt werden können, oder ob die Abfrage an das unterlagerte Datenbankmanagementsystem *PostgreSQL* weitergeleitet werden muss. Die ermittelten Daten vom Database Management System (DBMS) werden bei Bedarf im *OpenJPA Cache* aktualisiert.

Das *PostgreSQL* besteht aus mehreren Teilen die ineinander greifen, um die Anfragen zu bearbeiten. Dabei sind die *Memory Buffers* notwendig, um den Zugriff auf die Festplatte zu reduzieren und die Bearbeitungszeit zu verringern. Um Anfragen, die den Zugriff auf die Festplatte benötigen effizienter zu gestalten, bereiten die *Services* die Datenstrukturen auf.

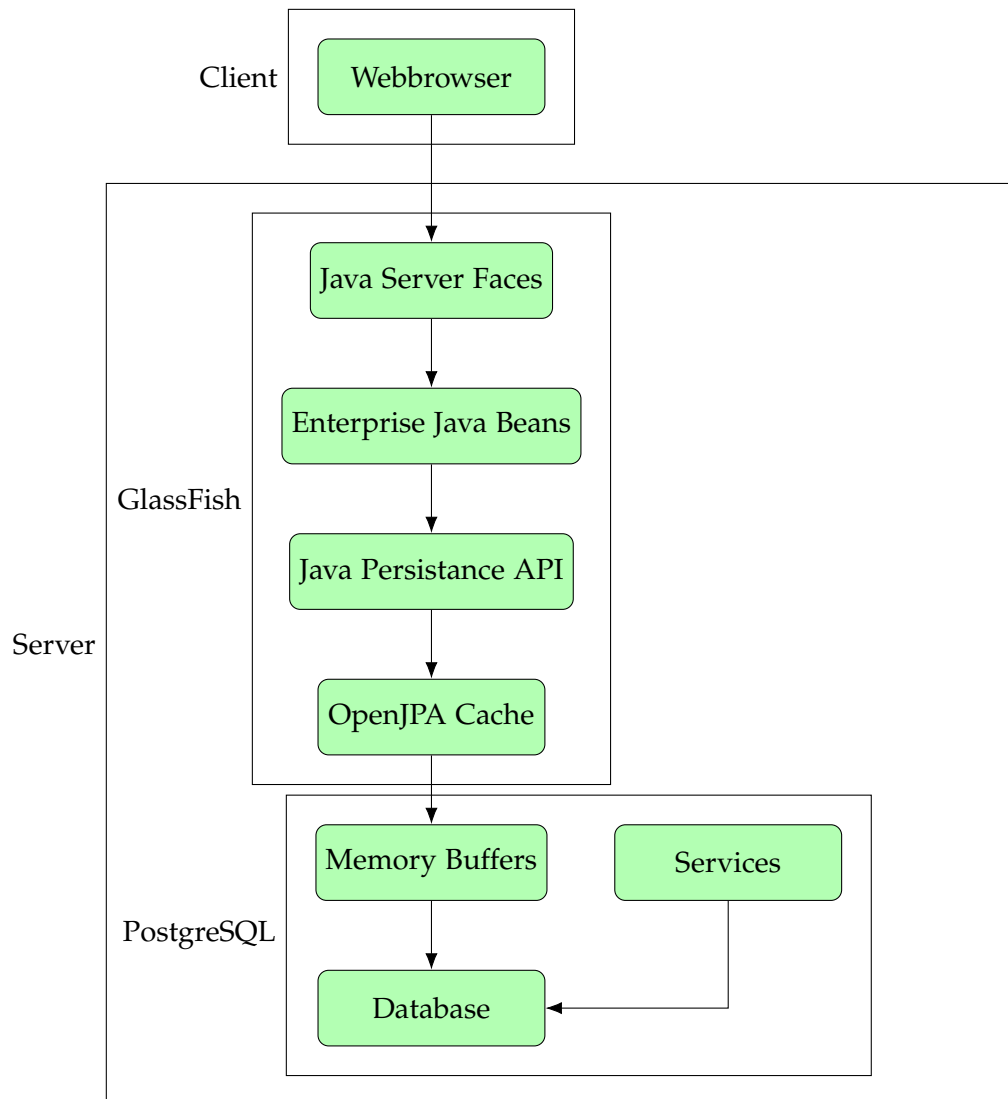


Abbildung 2.1: Ablauf einer Web-Anfrage

2.1 GLASSFISH - ENTERPRISE JAVA BEANS

In den Java-EE-Anwendungen wird der *Persistenzkontext* für die Anfragen vom *Application-Server* bereitgestellt. Hierfür werden *Application-Server* wie *GlassFish* genutzt, um die Verwendung eines Pools von Datenbankverbindungen zu definieren [MW12, S. 68]. Dadurch kann die Anzahl der Verbindungen geringer gehalten werden als die Anzahl der Benutzer, die an der Anwendung arbeiten. Zusätzlich werden die Transaktionen über *Stateful Session-Bean (SFSB)* gehandhabt, welche automatisch vor dem Aufruf erzeugt und danach wieder gelöscht werden. Dies birgt allerdings den Nachteil, dass der *Persistenzkontext* sehr groß werden kann, wenn viele Entities in den *Persistenzkontext* geladen werden. Da dies häufig zu Speicher- und damit Performance-Problemen [MW12, S. 79] führen kann, muss hier darauf geachtet werden, nicht mehr benötigte Entities aus dem *Persistenzkontext* zu lösen.

2.2 GLASSFISH - JAVA PERSISTENCE API

Die *JPA* wird als First-Level-Cache in Java-EE-Anwendung verwendet, hier nehmen die Objekte einen von vier Zuständen ein [MW12, S. 57]. Im Zustand *Transient* sind die Objekte erzeugt, aber noch nicht in den Cache überführt worden. Wenn diese in den Cache überführt worden sind, nehmen sie den Zustand *Veraltet* ein. Ist das Objekt aus dem Cache und der Datenbank entfernt worden, nimmt es den Zustand *Gelöscht* an. *Losgelöst* ist der letzte Zustand, bei dem das Objekt aus dem Cache entfernt worden ist, aber noch in der Datenbank verbleibt.

Eine Menge von Objekten wird als *Persistenzkontext* bezeichnet. Solange die Objekte dem *Persistenzkontext* zugeordnet sind, also den Zustand *Veraltet* besitzen, werden diese auf Änderungen überwacht, um diese am Abschluss mit der Datenbank zu synchronisieren. In der Literatur wird hierzu der Begriff *Automatic Dirty Checking* verwendet [MW12, S. 61].

2.3 GLASSFISH - OPENJPA CACHE

Zusätzlich kann im *JPA* ebenfalls noch der *Second Level Cache* (L2-Cache) aktiviert werden. Dieser steht jedem *Persistenzkontext* zur Verfügung und kann dadurch die Anzahl der Datenbankzugriffe deutlich reduzieren, was bei langsamen Datenbank-Anbindungen zu hohen Performance-Gewinnen führen kann [MW12, S. 171]. Zu Beachten ist, dass die Daten im *Second Level Cache* explizit über die Änderungen informiert werden müssen, um zu verhindern, dass bei einem nachfolgenden Aufruf veraltete Werte zurückgegeben werden. Ebenfalls benötigt ein Cache einen höheren Bedarf an Arbeitsspeicher, in dem die Daten parallel zur Datenbank bereitgestellt werden, daher ist die Benutzung nur problemlos bei Entities möglich, auf welche meist lesend zugegriffen wird.

In der OpenJPA-Erweiterung für den L2-Cache wird in *Objekt-Cache* (in OpenJPA als *DataCache* bezeichnet) und *Query-Cache* unterschieden. Über die Funktionen `find()` und `refresh()` oder einer Query werden die geladenen Entities in den Cache gebracht. Davon ausgenommen sind *Large Result Sets* (Abfragen die nicht alle Daten auf einmal laden), *Extent-Technologien* und *Queries*, die einzelne Attribute von Entities zurückliefern, aber nicht das Entity selbst. Hierbei kann genau gesteuert werden, welche Entity in den Cache abgelegt werden und welche nicht. Ebenfalls kann auf Klassenbasis der zugehörige Cache definiert werden, um eine bessere Last-Verteilung beim Zugriff zu ermöglichen [MW12, S. 314].

Im *Query-Cache* werden die Abfragen beziehungsweise die Eigenschaften einer Abfrage und die zurückgelieferten Ids der Entities gespeichert. Bei einem erneuten Aufruf dieser Abfrage werden die referenzierten Objekte aus dem *Objekt-Cache* zurückgegeben. Bei veränderten referenzierten Entities wird der *Query-Cache* nicht genutzt und die betroffenen Abfragen werden unverzüglich aus dem *Query-Cache* entfernt [MW12, S. 316].

Um zu prüfen, ob die Einstellungen sinnvoll gesetzt sind, kann in OpenJPA eine Cache-Statistik abgefragt werden. Mit dieser kann die Anzahl der Lese- und Schreibzugriffe im Cache überprüft werden, entsprechend dieser Auswertung sollten die Einstellungen an den Entities angepasst werden [Ibm].

2.4 POSTGRESQL - MEMORY BUFFERS

Die Speicherverwaltung des PostgreSQL-Servers muss für Produktivsysteme angepasst werden [EH13, S. 34–38]. Hierunter fallen die `shared_buffers`, die bei circa 10 bis 25 Prozent des verfügbaren Arbeitsspeichers liegen sollten. Mit dieser Einstellung wird das häufige Schreiben des Buffers durch Änderungen von Daten und Indexen auf die Festplatte reduziert.

Die Einstellung `temp_buffers` definiert, wie groß der Speicher für temporäre Tabellen pro Verbindung maximal werden darf und sollte ebenfalls überprüft werden. Ein zu kleiner Wert bei großen temporären Tabellen führt zu einem signifikanten Leistungseinbruch, wenn die Tabellen nicht im Hauptspeicher, sondern in einer Datei ausgelagert werden.

Der `work_mem` definiert die Obergrenze des zur Verfügung gestellt Hauptspeichers pro Datenbankoperation wie effizientes sortieren, verknüpfen oder filtern. Ebenso wird im Falle eines zu klein gewählten Speichers auf temporäre Dateien auf der Festplatte ausgewichen, was signifikante Leistungseinbrüche zur Folge haben kann.

Die `maintenance_work_mem` wird bei Verwaltungsoperationen wie Änderungen und Erzeugungen von Datenbankobjekten als Obergrenze definiert. Die Wartungsaufgabe `VACUUM`, welche die fragmentierten Tabellen aufräumt und somit die Performance hebt, beachtet die Obergrenze ebenfalls.

2.5 POSTGRESQL - SERVICES

Die Wartung des Datenbanksystems ist eine der wichtigsten Aufgaben und sollte regelmäßig durchgeführt werden, damit die Performance des Systems durch die Änderungen des Datenbestands nicht einbricht [EH13, S. 75]. Hierfür gibt es den `VACUUM`-Befehl, welcher entweder per Hand oder automatisch durch das Datenbanksystem ausgeführt werden soll. Für die automatische Ausführung kann der maximal verwendete Speicher über die Einstellung `autovacuum_work_mem` gesondert definiert werden [Posa]. Neben dem Aufräumen durch `VACUUM` sollten auch die Planerstatistiken mit `ANALYZE` [EH13, S. 83] aktuell gehalten werden, damit die Anfragen durch den Planer richtig optimiert werden können. Für beide Wartungsaufgaben gibt es den `Autovacuum`-Dienst, dieser sollte aktiv und richtig konfiguriert sein.

Mit dem Tool *pgFouine* [EH13, S. 155] können die Logs des PostgreSQL Server analysiert und auf Probleme hin untersucht werden. Hiermit können sehr einfach die häufigsten beziehungsweise langsamsten Anfragen ermittelt werden.

2.6 POSTGRESQL - ABFRAGEN

Für weitere Optimierungen werden anschließend die Anfragen einzeln überprüft. Hierfür ist es sinnvoll, die Ausführungspläne der Abfrage zu analysieren [EH13, S. 252], die verschiedenen Plantypen und ihre Kosten zu kennen sowie die angegebenen Werte für die Plankosten zu verstehen [DNB21, S. 24–30]. Besonderes Augenmerk gilt dem Vergleichen des tatsächlich ausgeführten mit dem ursprünglichen Plan [EH13, S. 254]. Eines der wichtigsten Kennzeichen hierbei ist, ob die Zeilenschätzung akkurat war. Größere Abweichungen weisen häufig auf veraltete Statistiken hin.

Um die Abfragen selbst zu optimieren, gibt es ein Vorgehen über mehrere Schritte [DNB21, S. 304–308]. Zuerst wird unterschieden, ob es sich um eine *Kurze* oder eine *Lange* Abfrage handelt. Im Falle einer *Kurzen* Abfrage werden zuerst die Abfragekriterien überprüft. Sollte dies zu keiner Verbesserung führen, werden die Indexe geprüft. Ist dies ebenso erfolglos, wird die Abfrage nochmals genauer analysiert und so umgestellt, dass die restriktivste Einschränkung zuerst zutrifft. Bei einer *Langen* Abfrage soll überprüft werden, ob es sinnvoll ist, das Ergebnis in einer Tabelle zu speichern und bei Änderungen zu aktualisieren. Wenn dies nicht möglich ist, sollten die folgenden Schritte durchgeführt werden. Zuerst wird der restriktivste Join gesucht und überprüft, ob dieser als Erstes ausgeführt wird. Anschließend fügt man weitere Joins hinzu und prüft die Ausführungszeit und die Abfragepläne. Als Nächstes wird sich vergewissert, ob große Tabellen nicht mehrfach durchsucht worden sind. Bei Gruppierungen ist noch zu prüfen, ob diese früher durchgeführt werden können, um die Abfragemenge zu verringern.

Bei *Langen* Abfragen ist die Abhandlung »Optimizing Iceberg Queries with Complex Joins« [WRY17] ein zusätzlicher Ratgeber, um die Performance zu steigern.

Des Weiteren können über das Modul `pg_stat_statements` Statistiken der Aufrufe, die an den Server gestellt wurden, ermittelt werden [Posb]. Hierbei können die am häufigsten aufgerufenen und die Anfragen mit der längsten Ausführungszeit ermittelt werden. Ohne das zusätzliche Modul können die Statistiken über die Software *pgBadger* erstellt werden. Dafür muss zusätzlich noch die Konfiguration des *PostgreSQL* angepasst werden.

KONZEPT

Das folgende Kapitel enthält die im Rahmen dieser Arbeit entstandenen Konzepte, um die vorhandenen Probleme zu identifizieren und mit entsprechenden Maßnahmen entgegenzusteuern. Hierbei werden zum einen die Konfigurationen der eingesetzten Software überprüft. Zum anderen werden die verschiedenen Schichten der entwickelten Software auf mögliche Optimierungen untersucht und bewertet.

3.1 ALLGEMEINE BETRACHTUNG DES SYSTEMS

Für die Untersuchung des Systems wird der direkte Zugang zum Server benötigt. Hierbei werden zuerst die im Abschnitt 2.5 beschriebenen Einstellungen überprüft.

Zuerst wird am PostgreSQL-Server die Konfiguration der Speicher mit der Vorgabe für Produktivsysteme abgeglichen. Hierunter fallen die Einstellungen für die `shared_buffers`, der bei einem Arbeitsspeicher von mehr als 1 GB circa 25% des Arbeitsspeichers besitzen sollte [Posc].

Bei der Einstellung `temp_buffers` geht es um den Zwischenspeicher für jede Verbindung, die bei der Verwendung von temporären Tabellen verwendet wird. Dieser Wert sollte auf dem Standardwert von 8 MB belassen werden und lediglich bei der Verwendung von großen temporären Tabellen verändert werden.

Der Speicher, der für eine Abfrage verwendet werden darf, wird über die Konfiguration `work_mem` gesteuert. Wenn der Speicher zu gering wird, werden die Zwischenergebnisse in temporäre Dateien ausgelagert. Der empfohlene Wert berechnet sich aus `shared_buffers` dividiert durch `max_connections` [Con]. Sollte die Berechnung außerhalb der Grenzwerte von 1 MB und 256 MB liegen, ist der jeweilige Grenzwert zu verwenden. Um zu ermitteln, ob die Konfiguration richtig ist, muss im PostgreSQL die Einstellung `log_temp_files` auf 0 gesetzt werden. Mit dieser wird ermittelt, ob temporäre Dateien verwendet werden sowie deren Größe. Bei vielen kleineren Dateien sollte der Grenzwert erhöht werden. Bei wenigen großen Dateien ist es sinnvoll den Wert so zu belassen.

Für die Wartungsaufgaben wie `VACUUM` oder dem Erstellen von Indexen wird die Begrenzung über die Einstellung `maintenance_work_mem` gesetzt. Dieser Wert sollte 5% des verfügbaren Arbeitsspeicher entsprechen und größer als `work_mem` sein.

Nachfolgend wird mit den Systemtools, wie den Konsolenanwendungen `htop` und `free`, die Auslastung des Servers überprüft. Hierbei ist die CPU-Leistung, der aktuell genutzte Arbeitsspeicher, sowie die Zugriffe auf die Festplatte die wichtigsten Faktoren zur Bewertung.

Die CPU-Leistung sollte im Schnitt 70% nicht überschreiten, für kurze Spitzen wäre dies zulässig, um die gestellten Anfragen schnell genug abarbeiten zu können. Daher soll verhindert werden, dass der Server an seiner Leistungsgrenze arbeitet.

Da unter Linux der Arbeitsspeicher nicht mehr direkt freigegeben wird, ist hier die Page-Datei der wichtigere Indikator. Wenn dieses in Verwendung ist, dann benötigen die aktuell laufenden Programme mehr Arbeitsspeicher als vorhanden ist, wodurch der aktuell nicht verwendete in die Page-Datei ausgelagert wird. Zu beachten ist hierbei allerdings, dass sich die Zugriffszeiten auf die Elemente drastisch erhöhen.

Die Zugriffsgeschwindigkeit, die Zugriffszeit sowie die Warteschlange an der Festplatte zeigt deren Belastungsgrenze auf. In diesem Fall kann es mehrere Faktoren geben. Zum einem führt das Paging des Arbeitsspeicher zu erhöhten Zugriffen. Ein zu klein gewählter Cache oder gar zu wenig Arbeitsspeicher erhöhen die Zugriffe auf die Festplatte, da weniger zwischengespeichert werden kann und daher diese Daten immer wieder direkt von der Festplatte geladen werden müssen.

3.2 UNTERSUCHUNG DER ANWENDUNG

Bei der Performance-Untersuchung der Anwendung wird sich im ersten Schritt auf die Dokumentenliste beschränkt. Anhand dieser können die Optimierungen getestet und überprüft werden. Im Nachgang können die daraus gewonnenen Kenntnisse auf die anderen Abfragen übertragen werden.

Die Dokumentenliste zeigt direkte und indirekte Informationen zu einem Dokument an. Hierzu gehört die Kennung des Dokumentes, das Schreibdatum, der Autor, der Adressat, der Schreibort und die Korrespondenzform. Nach jeder dieser Informationen kann der Bediener die Liste auf- oder absteigend sortieren lassen. Zusätzlich wird die Liste immer nach dem Schreibdatum sortiert, um die Ergebnisse bei gleichen Werten der zu sortierenden Informationen, wie dem Schreibort, immer in einer chronologisch aufsteigenden Form darzustellen.

Aktuell verwenden die Editoren die Dokumentenliste, um die Briefe eines Adressaten zu filtern und diese in chronologische Reihenfolge aufzulisten und zu untersuchen, wie die Kommunikation zwischen Herrn Wedekind und dem Adressaten abgelaufen ist. Ebenso wird nach Standorten sortiert, um zu ermitteln, welche Personen sich in einem Zeitraum am gleichen Ort aufgehalten haben.

Da die Daten in der 3. Normalform in der Datenbank gespeichert werden, sind einige Relationen für die Abfragen notwendig. Dies wird durch die generische Abfrage in Listing 3.1 gezeigt. Zusätzlich wird für jedes dargestellte Dokument eine zusätzliche Abfrage durchgeführt, wie in Listing 3.2 zeigt, dass auch hier weitere Relationen notwendig sind.

Listing 3.1: Generische Abfrage der Dokumentenliste

```
SELECT DISTINCT
```

```

-- document
  t0.id, t0.createdat, t0.modifiedat, t0.validuntil, t0.envelope_id
, t0.firstprint_id, t0.followsdocument_id, t0.iscomplete
, t0.isdispatched, t0.ispublishedindb, t0.isreconstructed
, t0.location_id, t0.numberofpages, t0.numberofsheets
, t0.parentdocument_id, t0.reviewer_id, t0.signature, t0.bequest_id
, t0.city_id, t0.documentcategory, t0.documentcontentteibody
, t0.datetype, t0.enddatestatus, t0.endday, t0.endmonth, t0.endyear
, t0.startdatestatus, t0.startday, t0.startmonth, t0.startyear
, t0.documentdelivery_id, t0.documentid, t0.documentstatus
-- historical person
, t4.id, t4.createdat, t4.modifiedat, t4.validuntil, t4.firstname
, t4.surname, t4.title, t4.birthdatetype, t4.birthstartdatestatus
, t4.birthstartday, t4.birthstartmonth, t4.birthstartyear
, t4.birthendstatus, t4.birthendday, t4.birthendmonth, t4.birthendyear
, t4.deathdatetype, t4.deathstartdatestatus, t4.deathstartday
, t4.deathstartmonth, t4.deathstartyear, t4.deathendstatus
, t4.deathendday, t4.deathendmonth, t4.deathendyear, t4.dnbref
, t4.gender, t4.isinstitution, t4.personid, t4.pseudonym, t4.wikilink
-- extended biography
, t5.id, t5.createdat, t5.modifiedat, t5.validuntil
-- sitecity birth
, t6.id, t6.createdat, t6.modifiedat, t6.validuntil
, t6.extendedbiography_id, t6.city, t6.country, t6.dnbref, t6.region
, t6.sitecityid, t6.wikilink, t6.zipcode
-- sitecity death
, t7.id, t7.createdat, t7.modifiedat, t7.validuntil
, t7.extendedbiography_id, t7.city, t7.country, t7.dnbref, t7.region
, t7.sitecityid, t7.wikilink, t7.zipcode
-- sitecity
, t8.id, t8.createdat, t8.modifiedat, t8.validuntil
, t8.extendedbiography_id, t8.city, t8.country, t8.dnbref, t8.region
, t8.sitecityid, t8.wikilink, t8.zipcode
-- appuser
, t9.id, t9.createdat, t9.modifiedat, t9.validuntil, t9.activated
, t9.emailaddress, t9.firstname, t9.institution, t9.lastlogindate
, t9.loggedin, t9.loggedinsince, t9.loginname, t9.password
, t9.registrationdate, t9.salt, t9.surname, t9.title
-- appuserrole
, t10.id, t10.createdat, t10.modifiedat, t10.validuntil
, t10.description, t10.userrole
FROM public.Document t0
LEFT OUTER JOIN public.DocumentCoAuthorPerson t1 ON t0.id = t1.
    document_id
LEFT OUTER JOIN public.DocumentAddresseePerson t2 ON t0.id = t2.
    document_id
LEFT OUTER JOIN public.historicalperson t3 ON t0.authorperson_id = t3.
    id
LEFT OUTER JOIN public.historicalperson t4 ON t0.authorperson_id = t4.
    id
LEFT OUTER JOIN public.sitecity t8 ON t0.city_id = t8.id
LEFT OUTER JOIN public.appuser t9 ON t0.editor_id = t9.id

```

```

LEFT OUTER JOIN public.extendedbiography t5 ON t4.extendedbiography_id
    = t5.id
LEFT OUTER JOIN public.sitecity t6 ON t4.sitecity_birch_id = t6.id
LEFT OUTER JOIN public.sitecity t7 ON t4.sitecity_death_id = t7.id
LEFT OUTER JOIN public.appuserrole t10 ON t9.appuserrole_id = t10.id
WHERE (t0.validuntil > NOW()
    AND t0.ispublishedindb = true
    AND (t1.validuntil > NOW() OR t1.id IS NULL)
    AND (t2.validuntil > NOW() OR t2.id IS NULL)
    AND 1 = 1
    )
ORDER BY t0.startyear DESC, t0.startmonth DESC, t0.startday DESC
LIMIT 400

```

Listing 3.2: Sub-Abfrage pro Dokument

```

SELECT
-- document coauthor person
    t0.id, t0.createdat, t0.modifiedat, t0.validuntil, t0.document_id
, t0.status
-- historical person
, t1.personid, t1.pseudonym, t1.wikilink, t1.id, t1.createdat
, t1.modifiedat, t1.validuntil, t1.comments, t1.firstname, t1.surname
, t1.title, t1.birthdatetype, t1.birthstartdatestatus
, t1.birthstartday, t1.birthstartmonth, t1.birthstartyear
, t1.birthendstatus, t1.birthendday, t1.birthendmonth, t1.birthendyear
, t1.deathdatetype, t1.deathstartdatestatus, t1.deathendstatus
, t1.deathstartday, t1.deathstartmonth, t1.deathstartyear
, t1.deathendday, t1.deathendmonth, t1.deathendyear
, t1.dnbref, t1.gender, t1.isinstitution
-- extended biography
, t2.id, t2.createdat, t2.modifiedat, t2.validuntil, t2.description
-- sitecity birth
, t3.id, t3.createdat, t3.modifiedat, t3.validuntil
, t3.extendedbiography_id, t3.city, t3.country, t3.dnbref, t3.region
, t3.sitecityid, t3.wikilink, t3.zipcode
-- sitecity death
, t4.id, t4.createdat, t4.modifiedat, t4.validuntil
, t4.extendedbiography_id, t4.city, t4.country, t4.dnbref, t4.region
, t4.sitecityid, t4.wikilink, t4.zipcode
FROM public.DocumentCoAuthorPerson t0
LEFT OUTER JOIN public.historicalperson t1 ON t0.authorperson_id = t1.
    id
LEFT OUTER JOIN public.extendedbiography t2 ON t1.extendedbiography_id
    = t2.id
LEFT OUTER JOIN public.sitecity t3 ON t1.sitecity_birch_id = t3.id
LEFT OUTER JOIN public.sitecity t4 ON t1.sitecity_death_id = t4.id
WHERE t0.document_id = ?

```

Nach aktuellem Stand beinhaltet die Datenbank circa 5400 Briefe, für die jeweils zwei bis sieben eingescannte Faksimile gespeichert werden. Diese Graphik-Dateien werden im TIFF-Format abgespeichert und benötigen zwi-

schen 1 und 80 MB Speicherplatz. Dadurch kommt die Datenbank aktuell auf circa 3,8 GB.

Wie in Kapitel 2 dargestellt, besteht die eigentliche Anwendung aus mehreren Schichten. Die PostgreSQL-Schicht wurde schon im vorherigen Kapitel betrachtet. Daher werden nun die weiteren Schichten des GlassFish-Servers in aufsteigender Reihenfolge betrachtet.

Die OpenJPA Cache Schicht wird nun einzeln untersucht. Hierfür werden zuerst die Cache-Statistik für Object-Cache und Query-Cache aktiviert [MW12, S. 315]. Die somit erfassten Werte werden über eine Webseite bereitgestellt, um die Daten Live vom Server verfolgen zu können. Zusätzlich wird die Webseite über ein Script aufgerufen und die Aufrufzeiten sowie andere externe Statistiken darüber erstellt und gespeichert.

In der JPA Schicht sind die Anzahl der Entitäten im Persistence Context zu beobachten. Die Anzahl der verschiedenen Klassen soll ermittelt werden und die Statistik-Webseite um diese Daten erweitern. Um die Daten zu ermitteln, kann der Quellcode aus 3.3 verwendet werden.

Listing 3.3: Persistence-Kontext Statistik

```

EntityManagerFactory emf = Persistence.createEntityManagerFactory(...);
EntityManager em = emf.createEntityManager();
for(EntityType<?> entityType : em.getMetaModel().getEntities())
{
    Class<?> managedClass = entityType.getBindableJavaType();
    System.out.println("Managing type: " + managedClass.getCanonicalName
        ());
}

// Oder bei JPA 2.0
emf.getCache().print();

```

Die Schicht EJB besitzt keine Möglichkeit, um eine sinnvolle Messung durchzuführen, daher wird hierfür keine direkte Messungen eingefügt. Hier werden nur die externen Statistiken durch das Skript verwendet, um zu prüfen in welchen Umfang die Umstellungen eine Veränderung im Verhalten der Webseite bewirken.

Bei den JSF wird eine Zeitmessung eingefügt, wofür eine *Factory* benötigt wird. Diese wird in den Pipeline Prozess, der die Verarbeitung der Seiten steuert, eingebunden und erstellt die Klasse für die Messung. In dieser werden die Zeiten zum Ermitteln der Daten, das Zusammensetzen und das Rendern der Sicht ermittelt. Die Zeiten werden in die Log-Datei des *GlassFish-Servers* hinterlegt und durch das Skript ausgewertet. Somit ist es relativ leicht aufzuzeigen, an welcher Stelle die größte Verzögerung auftritt.

Die Abfragen werden ebenfalls untersucht und mit verschiedenen Methoden optimiert. Hierfür werden zum einen auf native SQL-Anfragen umgestellt und die Ausführungszeiten überprüft. Zum anderen werden die Abfragen durch Criteria API erzeugt und dessen Ausführungszeit ermittelt.

Zusätzlich werden im PostgreSQL-Server Optimierungen vorgenommen, darunter zählen die *Materialized View*, welche eine erweiterte Sicht ist. Ne-

ben der Abfrage der Daten beinhalteten diese auch vorberechnete Daten der Abfrage, womit diese viel schneller abgefragt werden können. Zusätzlich werden die *Cached queries* überprüft, ob diese eine Verbesserung der Performance ergeben und damit eine Reduzierung der Abfragedauern erreichen.

Damit die Messungen nachvollziehbar bleiben, werden die Testaufrufe durch ein Bash-Script automatisiert gerufen. Wichtig hierbei ist, dass die Webseite immer vollständig gerendert vom Server an den Client übertragen wird. Somit kann die clientseitige Performance ignoriert werden, da alle Daten bereits direkt in diesem einem Aufruf bereitgestellt werden. In dem Skript werden zum einen die Laufzeiten der Webanfragen ermittelt, zum anderen die kürzeste, die längste und die durchschnittliche Laufzeit ermittelt. Auf Grund der Speicherprobleme wird auch die Speicherbenutzung des *GlassFish*-Servers vor und nach den Aufrufen ermittelt. Zum Schluss werden noch die Log-Dateien des *PostgreSQL*-Servers über das Tool *pgBadger* analysiert und als Bericht aufbereitet.

Um die Netzwerklatenz ignorieren zu können, wird das Skript auf dem gleichen Computer aufgerufen, auf dem der Webserver gestartet wurde. Das zugehörige Script ist in Anhang A zu finden.

PERFORMANCE-UNTERSUCHUNG

Für die Untersuchung der Performance-Probleme sollten einige Vorbereitungen getroffen werden. Dazu gehören die Konfigurationen des Servers und in welcher Art und Umfang Anpassungen für die Performance-Messungen an der Software durchgeführt werden müssen. Hierbei ist zu beachten, dass die Anpassungen minimal sind, damit die Messung selbst nicht das Ergebnis verfälscht. Zum Abschluss wird noch auf die Untersuchung der Abfragen eingegangen, wie diese im PostgreSQL-Server durchgeführt wird.

4.1 ÜBERPRÜFUNG DES SERVERS

Die einfachste Art die Einstellungen am PostgreSQL-Server zu überprüfen, ist die Abfrage von 4.1 am Datenbankserver auszuführen.

Listing 4.1: Ermitteln der PostgreSQL Einstellungen

```
SELECT name      AS setting_name
       , setting AS setting_value
       , unit     AS setting_unit
FROM   pg_settings
WHERE  name IN (
        'shared_buffers'
      , 'temp_buffers'
      , 'work_mem'
      , 'max_connections'
      , 'maintenance_work_mem'
      , 'autovacuum'
      )
```

Zusätzlich sollte noch die aktuelle Auslastung des Server überprüft werden.

Als Server wird hier ein Redhat-Server mit der Standard-Konfiguration des PostgreSQL-Server 10 verwendet. Daher wird von einer richtigen Konfiguration der Speicher ausgegangen. Ebenfalls wird davon ausgegangen, dass der automatische Dienst für VACUUM und ANALYZE aktiv ist. Eine weitere Überprüfung des Servers ist nicht möglich, da kein Zugang zum aktuellen Produktionsserver möglich ist.

4.2 EINBAU UND AKTIVIEREN VON PERFORMANCE-MESSUNG

Um eine Messung der Performance in der Webseite durchführen zu können, gibt es in JSF die Möglichkeit, über eine eigene Implementierung der Klasse `ViewDeclarationLanguageWrapper` sich in das Generieren der Webseite einzuhängen. Hierbei können die Funktionen für das Erstellen, das Bauen und

das Rendern der Webseite überschrieben werden. In den überschriebenen Funktionen werden nun Laufzeiten gemessen und die ermittelten Zeiten mit einer Kennung in die Log-Datei eingetragen. Durch die Kennung können die Zeiten im Nachgang über ein Script ermittelt und ausgewertet werden.

Zusätzlich wird noch eine Implementierung der zugehörigen Factory-Klasse `ViewDeclarationLanguageFactory` benötigt. Durch diese Factory-Klasse wird der eigentlichen Wrapper mit der Performance-Messung in die Bearbeitungsschicht eingehängt. Diese Implementierung wird dann noch in der `faces-config.xml` eingetragen, wie das in Listing 4.2 aufgezeigt wird, damit die Factory durch das System aufgerufen wird.

Listing 4.2: Einbindung Factory

```
<factory>
  <view-declaration-language-factory>
    de.wedekind.utils.VdlLoggerFactory
  </view-declaration-language-factory>
</factory>
```

Der Quellcode der Klassen ist in Anhang E zu finden.

Um die Abfragen im *PostgreSQL* untersuchen zu können, ist es am einfachsten, wenn man die Konfiguration so anpasst, dass alle Abfragen mit entsprechenden Zeitmessungen in die Log-Datei ausgegeben werden. Über die Einstellungen in Listing 4.3 wird die Datei und das Format der Ausgabe definiert.

Listing 4.3: PostgreSQL Dateikonfiguration

```
log_destination = 'jsonlog'
logging_collector = on
log_directory = 'log'
log_filename = 'postgresql-%Y-%m-%d_%H%M%S.log'
log_file_mode = 0640
log_rotation_size = 100MB
```

Über die Konfiguration unter Listing 4.4 wird definiert welche Werte protokolliert werden. Die wichtigste Einstellung ist `log_min_duration_statement`, diese definiert, ab welcher Laufzeit eine Abfrage protokolliert werden soll. Mit dem Wert 0 werden alle Abfragen protokolliert. Alle weiteren Einstellungen sind so gesetzt, dass nur notwendige Abfragen für die spätere Auswertung mit *pgBadger* protokolliert werden. Zusätzlich ist die Einstellung `log_temp_files` auf 0 zu setzen, dadurch werden alle erzeugten temporären Dateien und ihre Größe ebenfalls protokolliert. Diese Dateien entstehen, wenn der temporäre Puffer für die Abfrage nicht ausreicht und die Zwischenergebnisse ausgelagert werden müssen.

Listing 4.4: PostgreSQL Ausgabekonfiguration

```
log_min_duration_statement = 0
log_autovacuum_min_duration = 10
```

```

log_checkpoints = off
log_connections = on
log_disconnections = on
log_disconnections = on
log_duration = off
log_error_verbosity = default
log_hostname = on
log_lock_waits = on
log_statement = 'none'
log_temp_files = 0
log_timezone = 'Europe/Berlin'

```

4.3 PRÜFUNG VON ABFRAGEN

Das Untersuchen der protokollierten Abfragen auf Performance-Optimierungen ist ein weiterer Bestandteil dieser Arbeit. Das Schlüsselwort `EXPLAIN` ist im PostgreSQL vorhanden, um den Abfrageplan einer Abfrage zu ermitteln und darzustellen, um diese anschließend zu untersuchen. Der Abfrageplan ist als Baum dargestellt, bei welchem die Knoten die unterschiedlichen Zugriffsarten darstellen. Die Verbindung der Knoten und der Aufbau zeigt die Operationen, wie etwa Joins, Aggregation und Sortierung, und die Reihenfolgen der Abarbeitung. Zusätzlich sind auch Zwischenschritte wie Zwischenspeicherungen ersichtlich. Zu jeder Operation gibt es neben dem Typ noch zusätzliche Informationen, wie die geschätzten Anlauf- und Gesamtkosten (*costs*), die geschätzte Anzahl der Zeilen (*rows*) und die geschätzte Breite jeder Zeile (*width*). Der Wert von *costs* wird bei übergeordneten Knoten summiert.

Bei der Option `ANALYZE` wird die Abfrage ausgeführt und die echten Werte und Laufzeiten angezeigt. Ohne diese wird nur der Plan erstellt und dargestellt. Durch `VERBOSE` wird der Abfrageplan um zusätzliche Informationen angereichert. Die Option `BUFFERS` erweitert die Informationen über die Nutzung der Caches. Für eine Zusammenfassung am Ende des Abfrageplans, gibt es die Option `SUMMARY`. Eine vereinfachte Form des Aufrufs ist in Listing 4.5 dargestellt.

Listing 4.5: Aufruf von `EXPLAIN`

```

EXPLAIN (ANALYZE, VERBOSE, BUFFERS, SUMMARY)
select * from document;

```

Die zwei bekanntesten Knotentypen sind `Seq Scan` und `Index Scan`. Wenn eine Tabelle Zeile für Zeile gelesen wird, zeigt der Abfrageplan einen `Seq Scan`-Knoten an. Hierbei entsteht, unabhängig davon ob eine Bedingung zum filtern vorhanden ist, eine unsortierte Liste, deren Startkosten entsprechend niedrig sind. Je weiter die Liste durchlaufen wird, desto höher steigen die notwendigen Kosten. Die kostengünstigere Alternative ist der `Index Scan`, bei dem der Index nach den Kriterien durchsucht wird, was meist

durch den Aufbau des Index als BTree (Multi-Way Balanced Tree) rapide geht.

Eine weitere Optimierungsmöglichkeit ist die Verwendung von Indexen. Diese sind aber mit Bedacht zu wählen, da bei mehreren Indexen, die sehr ähnlich sind, nicht immer der gewünschte Index bei der Abfrage verwendet wird. Auch bedeutet ein Index bei jeder Änderung der Daten zusätzliche Arbeit, da dieser entsprechend mit gepflegt werden muss und ebenso dessen Statistik muss regelmässig aktualisiert werden. Ebenfalls ist die Reihenfolge der Spalte in einem zusammengesetzten Index von Bedeutung. Als Grundlage sollte hier mit der Spalte gestartet werden, welche die größte Einschränkung durchführt. Zusätzlich muss die Art des Index definiert werden, welche davon abhängig ist, mit welcher Vergleichsoperation auf die Tabellenspalte zugegriffen wird.

Um größere und aufwendigere Abfragen zu optimieren, bietet der PostgreSQL noch die Möglichkeit von *Materialized View*. Diese sind sehr ähnlich zu den Sichten, zusätzlich werden aber die Ergebnisse in einer tabellenähnlichen Form abgespeichert, somit sind die Zugriff auf diese Daten häufig performanter als die eigentliche Abfrage. Daher muss abgewägt werden, ob die Performance-Verbesserung trotz der zusätzlichen Aktualisierung des Datenbestandes als sinnvoll erachtet werden kann.

Zusätzlich können über die Systemtabelle `pg_statistic` oder die lesbare Systemansicht `pg_stats` die aktuellen statistischen Informationen über eine Tabelle und deren Spalten ermittelt werden. In dieser Tabelle werden durch das `ANALYZE` beziehungsweise `VACUUM ANALYZE` Kommando die Informationen zum Anteil der NULL-Werte (`null_frac`), durchschnittlichen Größe (`avg_width`), unterschiedlicher Werte (`n_distinct`) und weitere gesammelt und für die Erstellung der Abfragepläne verwendet [Posd]. Diese Information sollte vor dem erstellen eines Index betrachtet werden.

Durch das Kommando `CREATE STATISTICS` können diese Informationen erweitert werden, um das Erstellen des Abfrageplans zu verbessern. Das Aktivieren der zusätzlichen Statistiken sollte immer in Verbindung mit der Überprüfung des Abfrageplans durchgeführt werden, um zu ermitteln inwieweit die Anpassung zu einer Optimierung und keiner Verschlechterung führt.

Nun werden die unterschiedlichen Schichten betrachtet und mögliche Performance-Verbesserungen untersucht und deren Vor- und Nachteile herausgearbeitet.

Für die Tests wird ein aktuelles Manjaro-System mit frisch installierten Payara als Serverhost und der IntelliJ IDEA als Entwicklungsumgebung verwendet. Der Computer ist mit einer Intel CPU i7-12700K, 32 GB Arbeitsspeicher und einer SSD als Systemfestplatte ausgestattet.

Zur ersten Untersuchung und der Bestimmung der Basis-Linie wurde das Script ohne eine Änderung am Code und der Konfiguration mehrfach aufgerufen. Hierbei hat sich gezeigt, dass der erste Aufruf nach dem Deployment circa 1500 ms gedauert hat. Die weiteren Aufrufe benötigen im Durchschnitt noch 600 ms. Beim achten Aufruf des Scripts hat der Server nicht mehr reagiert und im Log ist ein *OutOfMemoryError* protokolliert worden.

Nach einem Neustart des Servers konnte das gleiche Verhalten wieder reproduziert werden. Daraufhin ist eine Erweiterung des Test-Scripts notwendig, um die aktuelle Speichernutzung des Payara-Servers darzustellen und auszuwerten. Diese Auswertung zeigt, dass der Server mit circa 1500 MB RSS Nutzung an seine Grenzen stößt. Diese Grenze wird durch die Konfigurationsänderung im Payara-Server von `-Xmx512m` auf `-Xmx4096m` nach oben verschoben. Nun werden circa 60 Aufrufe des Scripts benötigt, damit der Server nicht mehr reagiert. Hierbei wird aber kein *OutOfMemoryError* in der Log-Datei protokolliert und der Server verwendet nun circa 4700 MB RSS. Bei allen Tests war noch mehr als die Hälfte des verfügbaren Arbeitsspeichers des Computers ungenutzt.

Mit der Konfiguration `-Xmx` wird der maximal verwendbare Heap-Speicher in der Java Virtual Machine (JVM) definiert. Dies zeigt direkt, dass es ein Problem in der Freigabe der Objekte gibt, da das Erhöhen des verwendbaren Arbeitsspeichers das Problem nicht löst, sondern nur verlagert.

Für alle nachfolgenden Messungen wird das Skript im Anhang C verwendet, welches die einzelnen Aufrufe steuert. Die Ergebnisse werden in eine Tabelle überführt, wie in Tabelle 5.1. Hierbei werden die Aufrufzeiten der Webseite aus dem Skript für die Zeitmessung mit Mindest-, Durchschnitt- und Maximalzeit aufgenommen, hierbei ist eine kürzere Zeit besser. Zusätzlich wird die Anzahl der aufgerufenen Structured Query Language (SQL) Abfragen ermittelt, auch hier gilt, je weniger Aufrufe desto besser. Als letztes wird noch der verwendete Arbeitsspeicher vom *Payara*-Server vor und nach dem Aufruf ermittelt und die Differenz gebildet, hierbei sollte im idealen Fall die Differenz bei 0 liegen. Dieser Aufbau gilt für alle weiteren Messungen. Zusätzlich werden noch die Laufzeiten der JSF ermittelt und die

durchschnittlichen Zeiten mit in der Tabelle dargestellt, und auch hier ist es besser, wenn die Zeiten kürzer sind.

Als Grundlage für die Vergleiche wurde eine Messung durchgeführt, bei welcher alle Caches deaktiviert wurden und keine Änderung am Code vorgenommen wurde. Das Ergebnis dieser Messung ist in Tabelle 5.1 zu finden. Diese zeigen auch direkt ein zu erwartendes Ergebnis, dass der erste Aufruf bedeutend länger dauert als die Nachfolgenden. Ebenfalls sieht man eindeutig, dass die Anzahl der Anfragen nach dem ersten Aufruf immer die gleiche Anzahl besitzen. Der Speicherbedarf steigt relativ gleichmässig, was nicht recht ins Bild passt, da hier keine Objekte im Cache gehalten werden sollten.

| # | Aufrufzeit (ms) | | | Queries | RSS (MB) | | |
|---|-----------------|-----|------|---------|----------|---------|--------|
| | min | avg | max | | davor | danach | diff |
| 1 | 395 | 578 | 1312 | 12237 | 747.15 | 924.88 | 177.73 |
| 2 | 353 | 375 | 464 | 12080 | 924.51 | 1027.75 | 103,24 |
| 3 | 286 | 345 | 535 | 12080 | 1018.21 | 1145.36 | 127.15 |
| 4 | 291 | 307 | 340 | 12080 | 1129.91 | 1239.75 | 109,84 |

Tabelle 5.1: Messung ohne Caches

Vor jedem weiteren Test-Lauf wird die Domain beendet und komplett neu-gestartet, um mit einer frischen Instanz zu beginnen. Hierbei ist aufgefallen, dass fast immer 62 Abfragen zur Startup-Phase dazugehören, unabhängig von den konfigurierten Cache Einstellungen. Einige dieser Abfragen sind durch das Erstellen der *Materialized View searchreference* und *searchfulltext* erklärbar. Zusätzlich ist noch ein zyklischer Dienst *SearchEntityService* vorhanden, der zum Start und alle sechs Stunden den Datenbestand für die Suche aufbereitet und entsprechend einige Abfragen an die Datenbank absetzt. Da weder die Sichten noch der Dienst für die Dokumentenliste benötigt werden, werden der Dienst und das Erstellen im Code für die weiteren Tests deaktiviert.

Da die Abfragezeiten auf der Datenbank zu gering sind, um eine Verbesserung feststellen zu können, wird für den PostgreSQL und den Payara-Server ein Docker-Container erzeugt und dieser limitiert. Die Konfiguration ist in Anhang B beschrieben.

Mit dem neuen Aufbau ergibt sich eine neue Messung. Für den Speicherbedarf wird nun nicht mehr der benutzte Speicher der Anwendung beobachtet, sondern die Speichernutzung des Docker-Containers für den Payara-Server. Auch hier ist es besser, wenn es keine oder nur geringe Änderungen vor und nach dem Aufruf der Webseite gibt, ein steigender Wert zeigt an, dass der verwendete Speicher nicht sauber freigegeben werden kann.

Für die Ausführungszeiten der SQL-Abfragen werden nur die sechs Abfragen für die Darstellung der Tabelle beachtet. Hierzu zählt die Hauptabfrage der Dokumenten-Tabelle, die Ermittlung des letzten und ersten Eintrags in der Tabelle, die Ermittlung der Adressen des Autors, die Ermittlung der Ko-

autoren, die Ermittlung der Faksimile, sowie die Ermittlung der Anzahl aller vorhandenen Dokumente.

Zusätzlich wird die Zeit des Rendern der Sicht gemessen. Die erste Messung erfasst die komplette Laufzeit die fürs Rendern notwendig ist. Die zweite Messung ermittelt die Zeit für das Laden der Daten aus der Datenbank und das Erstellen der Java-Objekte inklusive dem Befüllen mit den geladenen Daten.

| # | Aufrufzeit (ms) | | | Queries (ms) | | Memory (MB) | | | Render (ms) | | | DB-load (ms) | | |
|---|-----------------|-----|------|--------------|------|-------------|--------|-------|-------------|-----|------|--------------|-----|-----|
| | min | avg | max | #-avg | avg | start | stop | diff | min | avg | max | min | avg | max |
| 1 | 451 | 682 | 1931 | 1223.0 | 30.3 | 931.3 | 986.1 | 54.8 | 440 | 666 | 1859 | 290 | 399 | 710 |
| 2 | 341 | 389 | 478 | 1208.0 | 31.2 | 986.5 | 1159.0 | 172.5 | 331 | 378 | 468 | 235 | 282 | 367 |
| 3 | 299 | 407 | 682 | 1208.0 | 33.5 | 1163.0 | 1273.0 | 110.0 | 290 | 398 | 672 | 207 | 307 | 579 |
| 4 | 278 | 359 | 424 | 1208.0 | 33.7 | 1272.0 | 1465.0 | 193.0 | 270 | 351 | 415 | 198 | 269 | 342 |
| 5 | 264 | 317 | 356 | 1208.0 | 32.9 | 1467.0 | 1574.0 | 107.0 | 256 | 309 | 348 | 184 | 235 | 276 |

Tabelle 5.2: Messung ohne Caches im Docker

5.1 CACHING IM OPENJPA

Die Cache-Einstellung von OpenJPA werden über die zwei Einstellungen `openjpa.DataCache` und `openjpa.QueryCache` konfiguriert. Bei beiden Einstellungen kann zuerst einmal über ein einfaches Flag *true* und *false* entschieden werden, ob der Cache aktiv ist. Zusätzlich kann über das Schlüsselwort *CacheSize* die Anzahl der Elemente im Cache gesteuert werden. Wird diese Anzahl erreicht, werden zufällige Objekte aus dem Cache entfernt und in eine *SoftReferenceMap* übertragen. Bei der Berechnung der Anzahl der Elemente werden angeheftete Objekte nicht beachtet.

Die Anzahl der Soft References kann ebenfalls über eine Einstellung gesteuert werden. Hierfür wird die Anzahl der Elemente über *SoftReferenceSize* gesetzt, dessen Wert im Standard auf *unbegrenzt* steht. Mit dem Wert *0* werden die Soft Referenzen komplett deaktiviert. Über die Attribute an den Entitätsklassen können diese Referenzen ebenfalls gesteuert werden, hierzu muss eine Überwachungszeit angegeben werden. Diese Zeit gibt in ms an, wie lange ein Objekt gültig bleibt. Mit dem Wert *-1* wird das Objekt nie ungültig, was ebenfalls der Standardwert ist.

Zuerst wird mit aktiviertem Cache mit einer Cache-Größe von 1000 Elemente getestet. Wie in Tabelle 5.3 zu sehen, dauert auch hier der erste Aufruf minimal länger als ohne aktiviertem Cache. Alle nachfolgenden Aufrufe wiederum sind um 100ms schneller in der Verarbeitung. Auch bei der Anzahl der Anfragen an die Datenbank kann der Rückgang der Anfragen sehr gut gesehen werden. Aktuell kann die Verringerung des wachsenden Speicherbedarfs nur nicht erklärt werden.

| # | Aufrufzeit (ms) | | | Queries (ms) | | Memory (MB) | | | Render (ms) | | | DB-load (ms) | | |
|---|-----------------|-----|------|--------------|------|-------------|--------|-------|-------------|-----|------|--------------|-----|-----|
| | min | avg | max | #-avg | avg | start | stop | diff | min | avg | max | min | avg | max |
| 1 | 291 | 611 | 2347 | 730.2 | 28.8 | 852.7 | 891.9 | 39.2 | 282 | 595 | 2286 | 172 | 284 | 770 |
| 2 | 278 | 319 | 422 | 667.3 | 25.8 | 892.7 | 1010.0 | 117.3 | 266 | 309 | 411 | 173 | 195 | 220 |
| 3 | 229 | 281 | 329 | 680.6 | 27.6 | 1011.0 | 1067.0 | 56.0 | 220 | 271 | 313 | 134 | 180 | 222 |
| 4 | 222 | 280 | 321 | 671.3 | 27.6 | 1067.0 | 1122.0 | 55.0 | 213 | 271 | 310 | 131 | 189 | 238 |
| 5 | 206 | 272 | 388 | 683.6 | 27.6 | 1122.0 | 1219.0 | 97.0 | 199 | 264 | 380 | 122 | 175 | 291 |

Tabelle 5.3: Messung mit OpenJPA-Cache und Größe auf 1000

Bei einer erhöhten Cache-Größe, von 1000 auf 10000, zeigt sich auf den ersten Blick ein noch besseres Bild ab, wie in Tabelle 5.4 ersichtlich ist. Der erste Aufruf entspricht der Laufzeit mit geringerer Cache-Größe, aber schon die Anfragen an die Datenbank gehen drastisch zurück. Bei den weiteren Aufrufen werden im Schnitt nun nur noch sechs Anfragen pro Seitenaufruf an die Datenbank gestellt, wodurch die Laufzeit im Schnitt nochmal um 100 ms beschleunigt werden kann.

| # | Aufrufzeit (ms) | | | Queries (ms) | | Memory (MB) | | | Render (ms) | | | DB-load (ms) | | |
|---|-----------------|-----|------|--------------|------|-------------|-------|------|-------------|-----|------|--------------|-----|-----|
| | min | avg | max | #-avg | avg | start | stop | diff | min | avg | max | min | avg | max |
| 1 | 151 | 368 | 1904 | 141.2 | 20.8 | 906.3 | 936.8 | 30.5 | 164 | 404 | 2232 | 39 | 124 | 847 |
| 2 | 133 | 143 | 159 | 6.0 | 20.5 | 935.7 | 939.3 | 3.6 | 121 | 136 | 146 | 32 | 36 | 44 |
| 3 | 120 | 126 | 132 | 6.0 | 19.9 | 939.4 | 942.7 | 3.3 | 116 | 136 | 256 | 32 | 47 | 167 |
| 4 | 120 | 124 | 128 | 6.0 | 21.4 | 944.3 | 945.4 | 1.1 | 105 | 113 | 125 | 30 | 32 | 39 |
| 5 | 109 | 114 | 131 | 6.0 | 19.7 | 945.5 | 946.7 | 1.2 | 101 | 107 | 112 | 30 | 32 | 35 |

Tabelle 5.4: Messung mit OpenJPA-Cache und Größe auf 10000

Bei dem deaktivieren der *SoftReference* und dem kleineren Cache zeigt sich keine große Differenz, somit scheint die *SoftReference* nicht das Problem für den steigenden Arbeitsspeicher zu sein, wie in Tabelle 5.5 ersichtlich.

| # | Aufrufzeit (ms) | | | Queries (ms) | | Memory (MB) | | | Render (ms) | | | DB-load (ms) | | |
|---|-----------------|-----|------|--------------|------|-------------|--------|-------|-------------|-----|------|--------------|-----|-----|
| | min | avg | max | #-avg | avg | start | stop | diff | min | avg | max | min | avg | max |
| 1 | 339 | 659 | 2435 | 880.8 | 33.2 | 909.6 | 960.2 | 50.6 | 330 | 644 | 2375 | 218 | 343 | 815 |
| 2 | 267 | 332 | 388 | 832.1 | 28.1 | 959.7 | 1000.0 | 40.3 | 259 | 323 | 377 | 178 | 229 | 280 |
| 3 | 265 | 397 | 350 | 830.3 | 27.3 | 1001.0 | 1107.0 | 106.0 | 256 | 288 | 241 | 172 | 204 | 252 |
| 4 | 249 | 311 | 401 | 727.8 | 27.1 | 1108.0 | 1234.0 | 126.0 | 240 | 303 | 392 | 165 | 225 | 317 |
| 5 | 268 | 296 | 325 | 931.9 | 28.0 | 1236.0 | 1239.0 | 3.0 | 260 | 288 | 318 | 192 | 217 | 244 |

Tabelle 5.5: Messung mit OpenJPA-Cache und Größe auf 1000 und 0 SoftReference

Der Vergleich zeigt, dass der Cache eine gute Optimierung bringt, aber dies kann nur dann gut funktionieren, wenn immer wieder die gleichen Objekte ermittelt werden. Sobald die Anfragen im Wechsel gerufen werden oder einfach nur die Menge der Objekte den Cache übersteigt, fällt die Verbesserung geringer aus.

5.2 CACHED QUERIES

Über die Einstellung `openjpa.jdbc.QuerySQLCache` wird der Cache für Abfragen aktiviert. Hierbei können Abfragen angegeben werden, die aus dem Cache ausgeschlossen werden. Der QueryCache wiederum beachtet aber nur Abfragen, die keine Parameter verwenden. Das sieht man auch entsprechend der Auswertung der Aufrufe in Tabelle 5.6, dass hier keine Veränderung der Aufrufzeiten stattgefunden hat, gleich ob mit Java Persistence Query Language (JPQL) oder Criteria API abfragt wird.

| # | Aufrufzeit (ms) | | | Queries (ms) | | Memory (MB) | | | Render (ms) | | | DB-load (ms) | | |
|---|-----------------|-----|------|--------------|------|-------------|--------|-------|-------------|-----|------|--------------|-----|-----|
| | min | avg | max | #-avg | avg | start | stop | diff | min | avg | max | min | avg | max |
| 1 | 409 | 771 | 2660 | 1222.4 | 32.8 | 850.4 | 982.8 | 132.4 | 366 | 633 | 2019 | 254 | 364 | 758 |
| 2 | 336 | 387 | 504 | 1208.0 | 31.2 | 982.9 | 1113.0 | 130.1 | 310 | 374 | 433 | 221 | 268 | 345 |
| 3 | 312 | 373 | 422 | 1208.0 | 31.1 | 1114.0 | 1221.0 | 107.0 | 295 | 401 | 658 | 216 | 320 | 570 |
| 4 | 288 | 363 | 471 | 1208.0 | 31.3 | 1239.0 | 1474.0 | 235.0 | 269 | 356 | 486 | 200 | 279 | 405 |
| 5 | 325 | 398 | 535 | 1208.0 | 33.5 | 1474.0 | 1666.0 | 192.0 | 280 | 466 | 804 | 208 | 390 | 725 |

Tabelle 5.6: Messung mit aktiviertem Cached Queries

5.3 CACHING MIT EHCACHE

Der Ehcache ist ein L2-Cache, den man direkt in OpenJPA integrieren kann. Hierfür sind einige Punkte zu beachten. Zum einen muss die Referenz auf das `ehcache` und das `ehcache-openjpa` Paket hinzugefügt werden. Zusätzlich dazu sind die Konfiguration `openjpa.QueryCache`, `openjpa.DataCache` und `openjpa.DataCacheManager` auf `ehcache` anzupassen. Anhand der Annotation `@DataCache` kann an jeder Klasse die Benennung des Caches sowie die Verwendung selbst gesteuert werden. Es wird für jede Klasse ein eigener Cache angelegt und der Name auf den vollen Klassennamen gesetzt. Die Verwendung ist für alle Klassen aktiviert und muss explizit deaktiviert werden, wenn dies nicht gewünscht ist. Als letztes muss noch der Cache-Manager aktiviert werden, dieser kann entweder durch Code programmiert werden oder über eine Konfiguration in der `ehcache.xml`.

Anhand der Auswertung von Tabelle 5.7 sieht man, dass der Ehcache eine starke Performance Verbesserung aufbringt. Über die Performance-Statistik-Webseite kann beobachtet werden, dass bei gleichen Aufrufen der Webseite nur die Treffer in Cache steigen, aber die Misses nicht. Ebenfalls erhöht sich die Anzahl der Objekte im Cache nicht. Zusätzlich steigt in diesem Fall der Speicherverbrauch nur gering bis gar nicht. Des Weiteren zeigt sich, dass die Abfragezeiten in der Datenbank nur gering verkürzt wurden, aber die Laufzeit der Webseite sich stark verbessert hat. Dies lässt auch hier den Schluss zu, dass die Erstellung der Objekte im OpenJPA die meiste Zeit benötigt.

| # | Aufrufzeit (ms) | | | Queries (ms) | | Memory (MB) | | | Render (ms) | | | DB-load (ms) | | |
|---|-----------------|-----|------|--------------|------|-------------|--------|------|-------------|-----|------|--------------|-----|------|
| | min | avg | max | #-avg | avg | start | stop | diff | min | avg | max | min | avg | max |
| 1 | 156 | 488 | 2820 | 135.2 | 20.7 | 981.6 | 1006.0 | 24.4 | 147 | 490 | 2809 | 39 | 175 | 1186 |
| 2 | 135 | 144 | 166 | 6.0 | 20.1 | 1006.0 | 1007.0 | 1.0 | 124 | 136 | 157 | 33 | 38 | 47 |
| 3 | 121 | 129 | 136 | 6.0 | 19.4 | 1008.0 | 1009.0 | 1.0 | 113 | 121 | 126 | 32 | 34 | 33 |
| 4 | 116 | 123 | 133 | 6.0 | 19.7 | 1008.0 | 1016.0 | 8.0 | 108 | 116 | 125 | 31 | 33 | 34 |
| 5 | 111 | 118 | 127 | 6.0 | 12.7 | 1016.0 | 1012.0 | -4.0 | 104 | 111 | 119 | 32 | 34 | 38 |

Tabelle 5.7: Messung mit aktiviertem Ehcache

5.4 CACHING IN EJB

Die Cache-Einstellungen des EJB sind in der Admin-Oberfläche des Payara-Servers zu erreichen. Unter dem Punkt Configurations \Rightarrow server-config \Rightarrow EJB Container werden zum einen die minimalen und maximalen Größen des Pools definiert. Zum anderen werden an dieser Stelle die maximale Größe des Caches und die Größe der Erweiterung definiert.

Anhand der Auswertung der Tabelle 5.8 ist ersichtlich, dass der EJB-Cache keine Auswirkung auf die Performance hat. Ebenso ist es ersichtlich, dass die Anzahl der Datenbankabfragen nicht reduziert werden. Dies ist dadurch zu erklären, dass im EJB die Provider gelagert sind, die über Dependency Injection dem Controller bereitgestellt werden. Die Objekte selbst sind nicht im EJB-Cache hinterlegt.

| # | Aufrufzeit (ms) | | | Queries (ms) | | Memory (MB) | | | Render (ms) | | | DB-load (ms) | | |
|---|-----------------|-----|------|--------------|------|-------------|--------|-------|-------------|-----|------|--------------|-----|-----|
| | min | avg | max | #-avg | avg | start | stop | diff | min | avg | max | min | avg | max |
| 1 | 364 | 741 | 2962 | 1222.1 | 29.4 | 880.6 | 991.7 | 111.1 | 353 | 725 | 2902 | 248 | 366 | 689 |
| 2 | 318 | 378 | 460 | 1208.0 | 31.0 | 992.4 | 1099.0 | 106.6 | 310 | 370 | 451 | 225 | 275 | 362 |
| 3 | 314 | 397 | 528 | 1208.0 | 32.5 | 1109.0 | 1308.0 | 199.0 | 306 | 388 | 519 | 227 | 307 | 434 |
| 4 | 334 | 371 | 420 | 1208.0 | 32.7 | 1308.0 | 1528.0 | 220.0 | 326 | 363 | 412 | 246 | 289 | 333 |
| 5 | 304 | 392 | 562 | 1208.0 | 33.3 | 1518.0 | 1662.0 | 144.0 | 297 | 385 | 555 | 229 | 311 | 478 |

Tabelle 5.8: Messung mit EJB-Cache

5.5 ABFRAGEN JPQL

Für die JPQL wird ein SQL ähnlicher Syntax verwendet, um die Abfragen an die Datenbank durchzuführen. Der nachfolgende Code für die Dokumentenliste, welche in JPQL geschrieben ist, ist aus dem DFG-Projekt [DP] entnommen. Das Listing 5.1 zeigt den JPQL-Code welcher unter dem Namen *Document.findAll* hinterlegt ist, um die Daten aus dem *PostgreSQL*-Server zu ermitteln. Die enthaltenen Namen mit vorangestellten Doppelpunkt sind Übergabevariablen, um die Auswahl einzuschränken.

Listing 5.1: JPQL Dokumentenliste

```

SELECT DISTINCT d FROM Document d
LEFT JOIN FETCH d.authorPerson
LEFT JOIN FETCH d.coauthorPersonSet
LEFT JOIN FETCH d.addresseePersonSet

```

```

WHERE d.validUntil > :now
AND   d.isPublishedInDb = :published
ORDER BY d.documentId ASC

```

Der dazugehörige Code im Server ist in Listing 5.2 zu finden und zeigt wie die benannte Anfrage aufgerufen und die ermittelten Daten übernimmt. Zusätzlich werden an dieser Stelle die Parameter versorgt, die Grenzwerte der Paginierung und die Hints hinterlegt.

Listing 5.2: Java JPQL Dokumentenliste

```

List<Document> myResultList = createNamedTypedQuery("Document.findAll")
    .setParameter("now", _IncludeDeleted ? new Date(0) : Date.from(
        LocalDateTime.now().atZone(ZoneId.systemDefault()).toInstant())
    .setParameter("published", true)
    .setFirstResult(_Start)
    .setMaxResults(_Size)
    .setHint("javax.persistence.query.fetchSize", _Size)
    .getResultList();

// Uebergabe der Ergebnisliste
if(myResultList != null && !myResultList.isEmpty()) {
    myResult.addAll(myResultList);
}

```

Da dieser Code direkt aus dem Projekt stammt, wird hierfür keine gesonderte Zeitmessung durchgeführt, da diese der Messung aus Tabelle 5.1 entspricht.

Für die Optimierung wurden noch zusätzlich die Hints `openjpa.hint.OptimizeResultCount`, `javax.persistence.query.fetchSize` und `openjpa.FetchPlan.FetchBatchSize` gesetzt. Hierbei konnten je nach gesetztem Wert, keine relevanten Unterschiede festgestellt werden. Hierbei wurde der Wert auf zwei gesetzt, welcher viel zu gering ist. Als weiterer Test wurde der Wert auf die angefragte Größe und den 20-fachen Wert dieser Größe gestellt.

Ebenso bringt der Hint `openjpa.FetchPlan.ReadLockMode` auch keinen Unterschied bei der Geschwindigkeit. Dies ist dadurch erklärbar, dass im Standard bei einer reinen Selektion eine Lesesperre aktiv sein muss. Bei `openjpa.FetchPlan.Isolation` wird gesteuert, auf welche Sperren beim Laden geachtet wird. Damit könnte man lediglich Schreibsperrern umgehen und würde damit die Anfrage nicht mehr blockieren lassen, jedoch führt es unweigerlich zu sogenannten »Dirty-Reads«, wodurch die Ausgabe verfälscht werden könnte. Daher ist diese Einstellung mit Vorsicht zu verwenden.

Mit dem Hint `openjpa.FetchPlan.EagerFetchMode` wird definiert, wie zusammengehörige Objekte abgefragt werden. Bei dem Wert `none` werden nur die Basis-Daten abgefragt und jedes weitere Objekt wird in einem eigenen Statement abgefragt. Mit `join` wird definiert, dass abhängige Objekte, die als »to-one«-Relation definiert sind, in der Abfrage über einen Join verknüpft und damit direkt mitgeladen werden. Bei reinen »to-one«-Relation funktioniert das Rekursiv und spart sich damit einige einzelne Abfragen.

Bei der Einstellung *parallel* wird zwar für jede abhängige Objektdefinition eine Abfrage ausgeführt und diese werden direkt auf die Hauptobjekte gefiltert und die Verknüpfung im OpenJPA-Framework durchgeführt. Somit muss in diesem Beispiel nicht für jedes Dokument eine einzelne Abfrage für die Koautoren durchgeführt werden, es wird lediglich eine Abfrage für alle Dokumente, welche ermittelt wurden, abgesetzt. Technisch gesehen wird die gleiche WHERE-Abfrage nochmal durchgeführt und um die JOINS ergänzt, um die Daten der Unterobjekte zu ermitteln. Mit dem Hint `openjpa.FetchPlan.SubclassFetchMode` ist die Konfiguration für Unterklassen definiert. Die Möglichkeiten entsprechen der vom `openjpa.FetchPlan.EagerFetchMode`.

Beim Umstellen der 2 Hints auf *parallel* wird die Bearbeitungszeit fast halbiert und Anzahl der Datenbankaufrufe wurde fast geviertelt. Dies zeigt, dass die einzelnen Aufrufe je Dokument aufwendiger sind als eine komplette Abfrage der abhängigen Daten und das zusammensetzen in der OpenJPA-Schicht.

Der letzte Hint `openjpa.FetchPlan.MaxFetchDepth` schränkt die rekursive Tiefe ein, für die abhängige Objekte mitgeladen werden. Lediglich auf Grund fehlender Datenbestände wird die Abfrage beschleunigt und ist daher in diesem Fall nicht zu verwenden.

5.6 ABFRAGEN CRITERIA API

Für die Criteria API wird die Abfrage nicht in einem SQL-Dialekt geschrieben, hierbei werden über Attribute die Verlinkung zur Datenbank durchgeführt. An der Klasse selbst wird der Tabellename definiert und an den Attributen die Spaltennamen. Um die Anfrage durchzuführen, muss nun nur noch die Datenklasse angegeben und mit den Parametern versorgt werden, wie es in Listing 5.3 gezeigt wird.

Listing 5.3: Criteria API Dokumentenliste

```
CriteriaBuilder cb = getEntityManager().getCriteriaBuilder();
CriteriaQuery<Document> cq = cb.createQuery(Document.class);
Root<Document> from = cq.from(Document.class);
ParameterExpression<Boolean> includedPara = cb.parameter(Boolean.class,
    "published");
ParameterExpression<Date> validPart = cb.parameter(Date.class, "now");

CriteriaQuery<Document> select = cq.select(from)
    .where(cb.and(
        cb.equal(from.get("isPublishedInDb"), includedPara),
        cb.greaterThan(from.get("validUntil"), validPart)
    ));
TypedQuery<Document> typedQuery = getEntityManager().createQuery(select)
    .setParameter("now", _IncludeDeleted ? new Date(0) : Date.from(
        LocalDateTime.now().atZone(ZoneId.systemDefault()).toInstant())
    .setParameter("published", true)
    .setFirstResult(_Start)
```

```

        .setMaxResults(_Size)
        .setHint("javax.persistence.query.fetchSize", _Size);
List<Document> myResultList = typedQuery.getResultList();

// Uebergabe der Ergebnisliste
if (myResultList != null && !myResultList.isEmpty()) {
    myResult.addAll(myResultList);
}

```

Wie in der Messung in Tabelle 5.9 zu sehen, unterscheiden sich die Abfragezeiten nur marginal von denen mit JPQL. Wenn man sich den Code im Debugger betrachtet, lässt sich erkennen, dass die zusammengesetzten Abfragen in den Java-Objekten fast identisch sind. In der Datenbank sind die Anfragen identisch zu denen über JPQL.

| # | Aufrufzeit (ms) | | | Queries (ms) | | Memory (MB) | | | Render (ms) | | | DB-load (ms) | | |
|---|-----------------|-----|------|--------------|------|-------------|--------|-------|-------------|-----|------|--------------|-----|-----|
| | min | avg | max | #-avg | avg | start | stop | diff | min | avg | max | min | avg | max |
| 1 | 429 | 704 | 2472 | 1224.4 | 27.0 | 848.5 | 928.2 | 79.7 | 419 | 687 | 2400 | 276 | 368 | 732 |
| 2 | 327 | 396 | 482 | 1208.0 | 30.1 | 929.3 | 1151.0 | 221.7 | 318 | 383 | 472 | 216 | 284 | 339 |
| 3 | 322 | 397 | 507 | 1208.0 | 28.6 | 1151.0 | 1304.0 | 153.0 | 312 | 389 | 498 | 232 | 308 | 420 |
| 4 | 306 | 351 | 416 | 1208.0 | 27.1 | 1303.0 | 1439.0 | 136.0 | 298 | 341 | 401 | 218 | 261 | 323 |
| 5 | 288 | 357 | 448 | 1208.0 | 27.1 | 1440.0 | 1580.0 | 140.0 | 279 | 348 | 441 | 201 | 271 | 360 |

Tabelle 5.9: Messung mit Criteria-API ohne Cache

Daher bringt die Criteria API keinen Performance-Vorteil gegenüber der JPQL-Implementierung. Somit können beide Implementierungen ohne Bedenken gegeneinander ausgetauscht werden, und die verwendet werden, die für den Anwendungsfall einfacher umzusetzen ist.

Bei den Hints ist es das Gleiche wie bei JPQL. Auch hier haben die meisten Hints keinen merkbaren Einfluss. Die Einstellung `openjpa.FetchPlan.EagerFetchMode` liefert auch hier Optimierungen, wenn der Wert auf *parallel* gestellt wird. Hier wird ebenfalls die Anzahl der Anfragen reduziert und damit auch die Geschwindigkeit optimiert.

5.7 MATERIALIZED VIEWS

Materialized Views sind Sichten in der Datenbank, die beim Erstellen der Sicht den aktuellen Zustand ermitteln und zwischenspeichern. Somit wird beim Zugriff auf diese Sichten nicht die hinterlegte Abfrage ausgeführt, sondern auf die gespeicherten Daten zugegriffen. Dies ist gerade bei vielen Joins von Vorteil. Zusätzlich können auf solchen Sichten auch Indexe erstellt werden, um noch effektiver die Abfragen bearbeiten zu können.

Der größte Nachteil dieser Sichten ist, dass sie zyklisch oder bei Datenänderungen aktualisiert werden müssen, sonst läuft der Datenbestand der Sicht und der zugrundeliegenden Abfrage auseinander. Da die Hauptarbeiten auf der Webseite die Abfrage der Daten ist und nicht das Editieren, kann dieser Nachteil bei entsprechender Optimierung ignoriert werden.

In diesem Test wurde die aktuelle Implementierung aus dem Wedekind-Projekt der *Materialized View* inklusive der Trigger und der *SearchDocument*-Klasse übernommen [Dok]. Wie in Listing 5.4 zu sehen, wurden zur Standard-Abfrage die sonst zusätzlichen Abfragen als direkte Sub-Selects mit integriert. Der Datenbestand dieser Sub-Selects wird im Json-Format angegeben, damit bei den Koautoren und den Adressen mehrere Datensätze in einer Zeile zurückgegeben werden können. Ohne diese Technik würde sich die Anzahl der Dokumente vervielfachen.

Listing 5.4: SQL Materialized View

```

CREATE MATERIALIZED VIEW searchdocument AS
SELECT
  d.id, d.documentid, d.datatype, d.startdatestatus, d.startyear,
  d.startmonth, d.startday, d.enddatestatus, d.endyear, d.endmonth,
  d.endday,
  (
    SELECT
      jsonb_build_object(
        'personId', hp.personid,
        'surname', hp.surname,
        'firstname', hp.firstname,
        'dateBirth', json_build_object(
          'year', hp.birthstartyear,
          'month', hp.birthstartmonth,
          'day', hp.birthstartday
        ),
        'dateDeath', json_build_object(
          'year', hp.deathstartyear,
          'month', hp.deathstartmonth,
          'day', hp.deathstartday
        )
      )
    FROM historicalperson hp
    WHERE hp.id = d.authorperson_id
    AND hp.validuntil > NOW()
  ) as author,
  (
    SELECT
      jsonb_agg(jsonb_build_object(
        'personId', hcap.personid,
        'surname', hcap.surname,
        'firstname', hcap.firstname,
        'dateBirth', json_build_object(
          'year', hcap.birthstartyear,
          'month', hcap.birthstartmonth,
          'day', hcap.birthstartday
        ),
        'dateDeath', json_build_object(
          'year', hcap.deathstartyear,
          'month', hcap.deathstartmonth,
          'day', hcap.deathstartday

```

```

        )
    ))
FROM documentcoauthorperson dcap
JOIN historicalperson hcap
    ON hcap.id = dcap.authorperson_id
    AND dcap.validuntil > NOW()
    AND hcap.validuntil > NOW()
WHERE dcap.document_id = d.id
) AS coauthors,
(
    SELECT
        jsonb_agg(jsonb_build_object(
            'personId', hap.personid,
            'surname', hap.surname,
            'firstname', hap.firstname,
            'dateBirth', json_build_object(
                'year', hap.birthstartyear,
                'month', hap.birthstartmonth,
                'day', hap.birthstartday
            ),
            'dateDeath', json_build_object(
                'year', hap.deathstartyear,
                'month', hap.deathstartmonth,
                'day', hap.deathstartday
            )
        ))
    FROM documentaddresseeperson dap
    JOIN historicalperson hap
        ON hap.id = dap.addresseeperson_id
        AND dap.validuntil > NOW()
        AND hap.validuntil > NOW()
    WHERE dap.document_id = d.id
) AS addressees,
sc.city, d.documentcategory, d.ispublishedindb, d.createdat,
d.modifiedat, d.validuntil
FROM document d
LEFT JOIN sitecity sc ON sc.id = d.city_id;

```

Zusätzlich zur View, werden noch die Indexe aus Listing 5.5 erstellt. Diese werden für eine bessere Performance der Abfrage benötigt.

Listing 5.5: SQL Materialized View

```

CREATE INDEX idx_searchdocument_documentid
    ON searchdocument (documentid);

CREATE INDEX idx_searchdocument_author_surname_firstname
    ON searchdocument ((author->>'surname'), (author->>'firstname'));

CREATE INDEX idx_searchdocument_startdate
    ON searchdocument (startyear, startmonth, startday);

CREATE INDEX idx_searchdocument_addressees_first_entry

```



```

ON searchdocument
  ( ((addressees->0->>'surname')::text)
    , ((addressees->0->>'firstname')::text));

CREATE INDEX idx_searchdocument_city
  ON searchdocument (city);

CREATE INDEX idx_searchdocument_documentcategory
  ON searchdocument (documentcategory);

```

Für die Datenermittlung wurden die notwendigen Teile aus dem Wedekind-Projekt kopiert. Bei der Darstellung wurden die vorhandenen Elemente, welche die Liste der Dokumente anzeigt, kopiert und auf die SearchDocument-Klasse angepasst.

| # | Aufrufzeit (ms) | | | Queries (ms) | | Memory (MB) | | | Render (ms) | | | DB-load (ms) | | |
|---|-----------------|-----|------|--------------|-----|-------------|-------|-------|-------------|-----|------|--------------|-----|-----|
| | min | avg | max | #-avg | avg | start | stop | diff | min | avg | max | min | avg | max |
| 1 | 232 | 424 | 1486 | 14.3 | 1.4 | 828.2 | 929.3 | 101.1 | 222 | 408 | 1404 | 138 | 208 | 393 |
| 2 | 154 | 182 | 219 | 7.0 | 1.2 | 939.9 | 941.2 | 1.3 | 145 | 174 | 209 | 81 | 103 | 132 |
| 3 | 139 | 147 | 163 | 7.0 | 1.3 | 941.1 | 949.2 | 8.1 | 131 | 140 | 156 | 76 | 80 | 88 |
| 4 | 128 | 134 | 141 | 7.0 | 1.3 | 946.0 | 946.6 | 0.6 | 121 | 127 | 133 | 72 | 75 | 78 |
| 5 | 123 | 129 | 134 | 7.0 | 1.5 | 946.7 | 947.8 | 1.1 | 116 | 122 | 127 | 65 | 68 | 72 |

Tabelle 5.10: Messung mit Materialized View

Wie in Tabelle 5.10 zu sehen ist, bringt die Verwendung der *Materialized View* eine Verbesserung in verschiedenen Punkten. Zum einen ist eine Verbesserung der Aufrufzeiten zu erkennen, zum anderen fällt der Speicheranstieg weniger stark aus. Die Verbesserung der Aufrufzeiten lässt sich zusätzlich erklären, dass hier nun nur noch vier statt der sechs Abfragen an die Datenbank gestellt werden, da die Einzelabfragen für die Adressen der Personen und der Koautoren komplett entfallen.

Nach einer weiteren Untersuchung des Quellcodes wird festgestellt, dass bei jeder Anfrage die gleichen Bedingungen benötigt werden. Da die Sicht nun explizit für diese Anfrage geschaffen ist, werden die Bedingungen nun direkt in die Sicht mit integriert. Dies bedeutet eine Erweiterung der Sicht aus Listing 5.4 um Listing 5.6 und das Entfernen der Parameter aus dem SQL-Anfragen im Java-Code.

Listing 5.6: SQL Materialized View Erweiterung

```

WHERE d.validuntil > NOW()
AND   d.ispublishedindb = true;

```

Nach den Anpassungen haben sich die Werte aus Tabelle 5.11 ergeben. Diese Werte zeigen nur minimale Unterschiede in den Zeiten, diese sind auf Messtoleranzen zurückzuführen.

| # | Aufrufzeit (ms) | | | Queries (ms) | | Memory (MB) | | | Render (ms) | | | DB-load (ms) | | |
|---|-----------------|-----|-----|--------------|-----|-------------|-------|------|-------------|-----|-----|--------------|-----|-----|
| | min | avg | max | #-avg | avg | start | stop | diff | min | avg | max | min | avg | max |
| 1 | 241 | 348 | 859 | 16.8 | 2.5 | 896.0 | 932.4 | 36.4 | 232 | 331 | 803 | 132 | 174 | 334 |
| 2 | 164 | 194 | 225 | 9.0 | 2.4 | 933.3 | 935.9 | 2.6 | 154 | 185 | 215 | 79 | 99 | 117 |
| 3 | 147 | 161 | 179 | 9.0 | 2.4 | 935.8 | 938.8 | 3.0 | 139 | 152 | 167 | 68 | 77 | 86 |
| 4 | 135 | 145 | 183 | 9.0 | 2.4 | 939.4 | 936.0 | -3.4 | 127 | 137 | 174 | 70 | 73 | 75 |
| 5 | 126 | 137 | 154 | 9.0 | 2.4 | 936.1 | 939.1 | 3.0 | 118 | 129 | 143 | 66 | 72 | 79 |

Tabelle 5.11: Messung mit erweiterter Materialized View

Da bei der *Materialized View* das Laden der Daten und das Wandeln in die Java-Objekte getrennt programmiert wurde, können hier eigene Zeitmessungen für die zwei Schritte eingebaut werden. Hierfür wird die Zeit vor dem `map`-Aufruf und der `map`-Aufruf gemessen. Für die erste Messung wurde vor der Datenbankabfrage ein `SearchDocument` Objekt erzeugt und dieses in jedem `map`-Aufruf zurückgegeben. Mit diesem Aufbau wurde die Zeit ermittelt, um die Daten aus der Datenbank zu laden und dieses Ergebnis einmalig zu durchlaufen, ohne ein Objekt zu erstellen. Hierbei lagen die Zeiten bei circa 1 ms für das reine Laden der Daten und 3 ms für den Aufruf der `map`-Funktion. Sobald innerhalb der `map`-Funktion pro Eintrag ein Objekt erzeugt wird, ohne die Konvertierung der ermittelten Daten in das Objekt, steigt die Laufzeit bereits auf 54 ms. Wenn man nun noch die Konvertierung der Daten mit einbaut, erhöht sich die Laufzeit nochmals, auf nun 82 ms. Alleine für das Erzeugen der Objekte und der `Json-Parse` Aufrufe wird die meiste Zeit aufgewendet.

Bei der Verwendung des Hints `openjpa.FetchPlan.FetchBatchSize` kann sich die Abfrage enorm verschlechtern. Wenn dieser Wert zu klein oder groß definiert ist, wird die Laufzeit verschlechtert. Bei einem zu großen Wert wird die Laufzeit der Datenbankanfrage auf circa 20 ms verlängert. Wenn der Wert zu gering gewählt ist, dann wird zwar die Laufzeit der Datenbankanfrage minimal verkürzt, aber die `map`-Funktion wird dadurch verlängert.

Das Aktivieren der Cache-Optionen wie in Abschnitt 5.1 oder in Abschnitt 5.2 dargestellt, haben keine Auswirkung auf die Performance. Dies ist dadurch erklärbar, dass keine Objekte durch das OpenJPA-Framework erstellt werden, sondern erst in der `map`-Funktion des eigenen Codes und daher wird der Cache nicht genutzt.

Wie schon ermittelt, benötigt das Erstellen der Objekte den Großteil der Zeit für die Datenermittlung. Auf Grund dessen wurde die übernommene `SearchDocument`-Klasse abermals genauer betrachtet. Beim Erstellen werden die `Json`-Daten direkt in Java-Objekte gewandelt. Im ersten Schritt wird die `Parse`-Funktion entfernt und die Seite nochmals aufgerufen. Durch diese Umstellung fällt die Laufzeit der Datenermittlung auf circa 4 ms ab. Nun muss noch überprüft werden, welche Zeit nun der Client zum parsen der `Json`-Daten benötigt. Hierfür werden die Daten in einem versteckten `span`-Element hinterlegt, wie es im Listing 5.7 zu sehen ist. Die hinterlegte *Cascading Style Sheets (CSS)*-Klasse ist zum Auffinden der Elemente für den späteren Javascript. Das `ajax`-Element im Beispiel ist notwendig, damit bei

einem Seitenwechsel die gleiche Interpreter-Funktion für die *Json*-Daten aufgerufen wird, wie beim Laden der Webseite.

Listing 5.7: DataTable mit Json

```

<p:ajax event="page" oncomplete="convertJsonData()" />
<p:column id="author" headerText="#{lang.List_Docs_Author}" sortable="
  true" sortBy="#{myObj.surname}">
  <h:outputText styleClass="json-convert" style="display: none;" value
    ="#{myObj.authorJson}" />
</p:column>
<p:column id="Addressee"
  headerText="#{lang.List_Docs_Addressee}"
  sortable="true"
  sortBy="#{(myObj.addresseePersonSet!=null and myObj.
    addresseePersonSet.size() > 0)?myObj.addresseePersonSet
    [0].addresseePerson:''}">
  <h:outputText styleClass="json-convert" style="display: none;" value
    ="#{myObj.addresseeJson}" data="abc" />
</p:column>

```

Die Interpreter-Funktion, welche in JavaScript geschrieben ist, wird benötigt, um die übertragenen *Json*-Daten in eine darstellbare Form zu bringen. Die Funktion aus dem Listing 5.8 ermittelt erst alle versteckten Elemente, deserialisiert den Inhalt und erstellt neue *HyperText Markup Language (HTML)*-Elemente mit dem darzustellenden Inhalt. Zusätzlich wird noch eine Zeitmessung eingebaut, um die Laufzeit am Client für das Rendern in der Konsole anzuzeigen. Die Funktion wird nun direkt nach dem die Webseite fertig geladen wurde aufgerufen.

Listing 5.8: Wandeln von Json nach Html

```

function isEmpty(str) {
  return (str === null) || (str === undefined) || (typeof str === "
    string" && str.length === 0);
}
function convertJsonData() {
  let $jsonObj = $(".json-convert")
  , start = new Date()
  ;

  $.each($jsonObj, function() {
    let json = this.innerHTML
    , strEmpty = (json === null) || (typeof json === "string" && json.
      length === 0)
    , jsonDat = strEmpty ? null : JSON.parse(json)
    ;
    if(!strEmpty) {
      let res = ""
      , $that = $(this)
      , $par = $that.parent()
      ;

```

```

$.each(jsonDat, function() {
  let hasOnlyOne = isEmpty(this.surname) || isEmpty(this.firstname
  )
  , pseudonymExists = !isEmpty(this.pseudonym)
  , namePart = "<span>" + (hasOnlyOne ? this.surname + this.
    firstname : this.surname + ", " + this.firstname) + "</
    span><br/>"
  , pseudoPart = pseudonymExists ? "<span class='w3-small w3-
    text-dark-gray'>" + this.pseudonym + "</span><br/>" : ""
  ;
  res += namePart + pseudoPart;
});
$par.append(res);
}
});
let end = new Date()
  , diff = (end - start)
  ;
console.log(Math.round(diff) + " ms");
}

$(document).ready(function() {
  convertJsonData();
});

```

Da nun am Client der Code ausgeführt wird, nachdem die Daten übertragen wurden, kann nicht mehr alles über das Script durchgeführt werden. Daher werden nun die Laufzeiten am Server und am Client zusammenaddiert. Im Schnitt benötigt der Aufruf auf der Serverseite nun 70 ms und am Client sind es circa 13 ms. Die summierte Laufzeit von Client und Server ist geringer als die reine Serverlösung und erzeugt gleichzeitig weniger Last am Server.

5.8 OPTIMIERUNG DER ABFRAGE

Für die Optimierung der Abfragen werden diese zuerst mit EXPLAIN, wie in Listing 5.9 dargestellt, untersucht. Für die einfachere Diagnose wird der erstellte Plan mit Hilfe von *Postgres Explain Visualizer 2* (<https://github.com/dalibo/pev2>) visualisiert.

Listing 5.9: Explain für Diagnose

```

explain (analyze, verbose, buffers, summary, format json)
select <Spalten>
from
  public.document t0
  left outer join public.historicalperson t1 on t0.authorperson_id =
    t1.id
  left outer join public.sitecity t5 on t0.city_id = t5.id
  left outer join public.appuser t6 on t0.editor_id = t6.id

```

```

left outer join public.extendedbiography t2 on t1.
    extendedbiography_id = t2.id
left outer join public.sitecity t3 on t1.sitecity_birth_id = t3.id
left outer join public.sitecity t4 on t1.sitecity_death_id = t4.id
left outer join public.appuserrole t7 on t6.appuserrole_id = t7.id
where (t0.validuntil > NOW()
    and t0.ispublishedindb = true)
order by startyear DESC, startmonth DESC, startday DESC
limit 400;

```

Die erstellte Visualisierung der Abfrage ist in Abbildung 5.1 zu sehen. In der Visualisierung wurde die Darstellung der Kosten gewählt, da ein Vergleich auf Basis der Zeit sehr schwierig ist und von äußeren Faktoren abhängt, wie zum Beispiel dem Cache. Die Kosten sind stabiler und hängen in erster Linie von der Art des Datenbestandes ab.

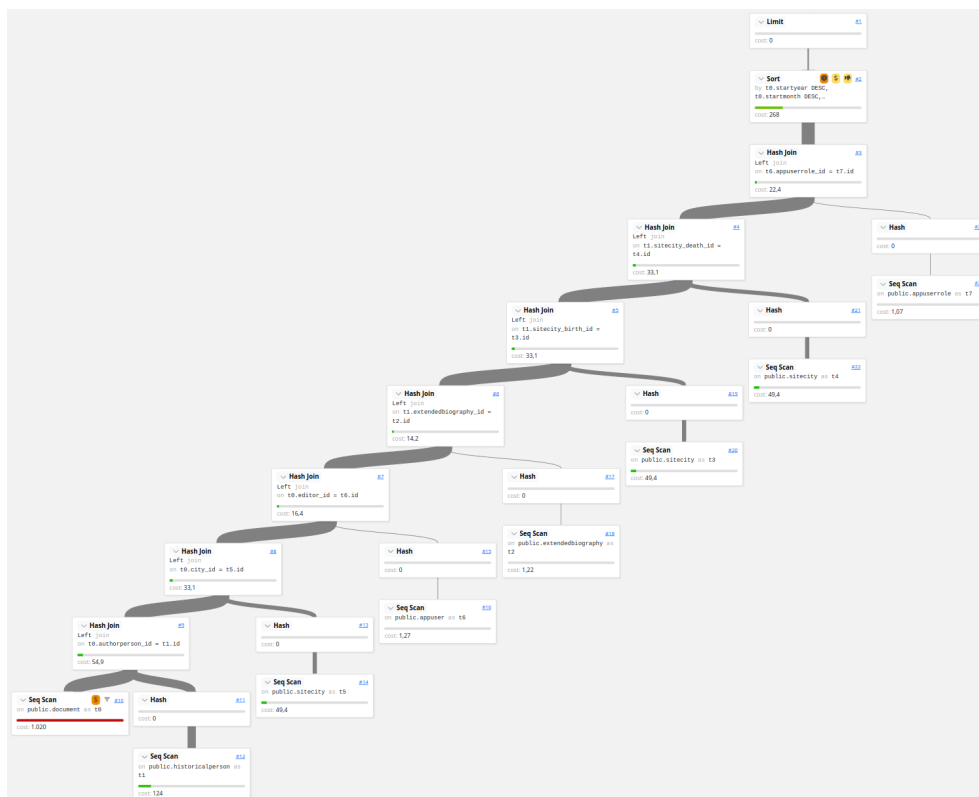


Abbildung 5.1: Visualisierung EXPLAIN

In der Graphik ist zu sehen, dass zum einen die Hauptkosten im untersten Knoten *Seq Scan* und einen der obersten Knoten dem *HashAggregate* liegen. Zusätzlich sieht man anhand der Stärke von den Verbindungslinien der Knoten, dass die Menge der Datensätze enorm hoch ist und diese sich bis zum obersten Knoten durchziehen. Dies bedeutet, dass die Einschränkung des Datenbestandes erst am Ende der Abfrage durchgeführt wird und diesbezüglich die Dauer der Abfrage linear mit den Inhalt der *document*-Tabelle zusammenhängt. Des Weiteren wird für keine Tabelle ein *Index Scan* verwendet, sondern immer mit einem *Seq Scan* gearbeitet, da durch das Er-

mitteln des kompletten Datenbestandes der Optimizer entscheidet, ob der komplette Scan der Tabelle kostengünstiger ist als die Verwendung eines der vorhandenen Indexe. Dies kann durch den Befehl `SET enable_seqscan = off` sehr einfach verifiziert werden. Damit wird die Verwendung von *Seq Scan* deaktiviert und es wird anschließend ein *Index Scan* verwendet. Wenn man nun beide Pläne vergleicht, sieht man die Erhöhung der Kosten bei der Verwendung von *Index Scan*.

Die beste Optimierung hierbei ist, die Menge der Datensätze so früh wie möglich einzuschränken. Da die Verwendung von `order by` innerhalb eines Sub-Selects nicht erlaubt ist, wird hierfür eine *Common Table Expression* verwendet, wie es in Listing 5.10 zu sehen ist. Zusätzlich wird noch ein Index auf die *document*-Tabelle für die Spalten der Bedingung und der Sortierung erstellt, wie in Listing 5.11 zu sehen, damit in der *Common Table Expression* nur der Index verwendet werden kann und kein zusätzlicher Zugriff in die Tabelle notwendig ist.

Listing 5.10: Optimierung mit Common Table Expression

```
with doc_limit as (
  select id
  from   public.document
  where  validuntil > now()
  and    ispublishedindb = true
  order  by startyear desc, startmonth desc, startday desc
  limit  400
)
select *
from   doc_limit t
       join public.document t0 on t0.id = t.id
order  by t0.startyear desc, t0.startmonth desc, t0.startday desc
```

Listing 5.11: Index für Common Table Expression

```
create index idx_document_with_stmt on document using btree
( ispublishedindb, validuntil, startyear desc, startmonth desc
, startday desc, id );
```

Mit diesen Umstellungen erkennt man, dass die Kosten entsprechend gefallen sind. Ebenfalls konnte die Laufzeit um mehr als den Faktor drei reduziert werden. Die Optimierung ist in Abbildung 5.2 sehr deutlich an den dünneren Verbindungslinien zwischen den Knoten und der Umstellung von einigen *Seq Scan* zu *Index Scan* ersichtlich. Zeitgleich ist auch der teure *Hash-Aggregate* nicht mehr im Abfrageplan vorhanden.

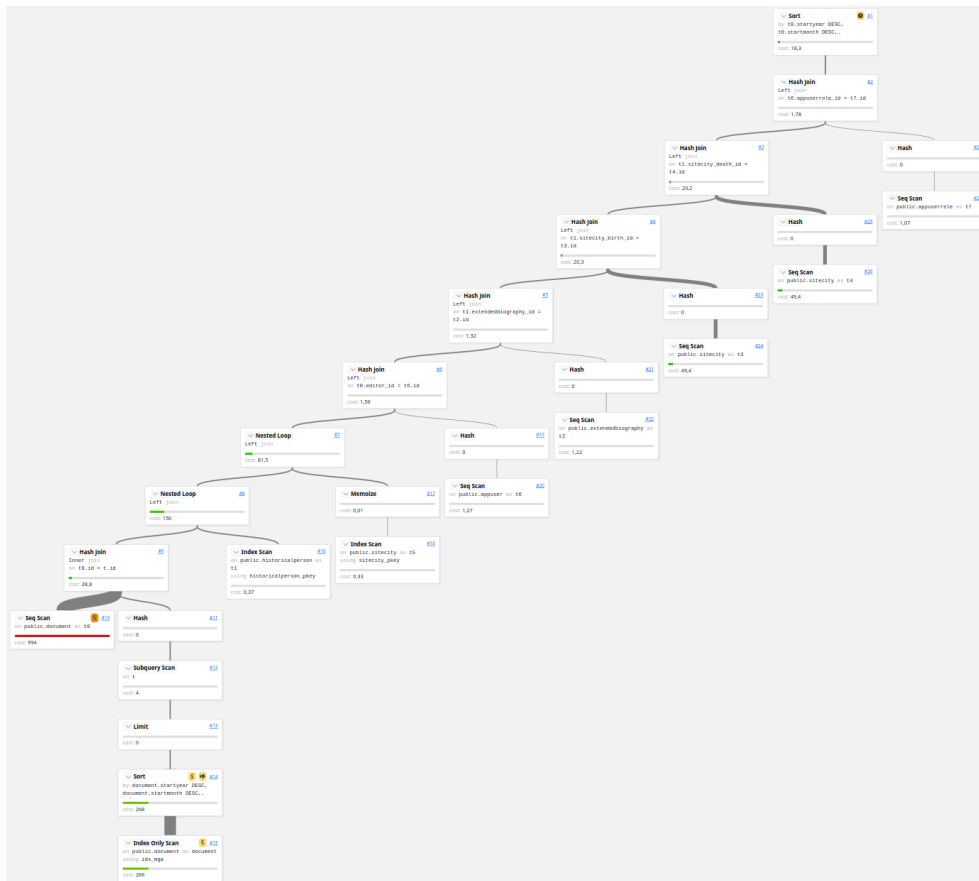


Abbildung 5.2: Visualisierung EXPLAIN with

Bei der Untersuchung der Abfrage zur *Materialized View* ist direkt herausgekommen, dass hier keine Optimierung mehr möglich ist, da durch die definierten Indexe bei den aktuell möglichen Sortierkriterien direkt ein *Index Scan* verwendet wird. Dies ist durch eine Überprüfung der Abfragepläne beweisbar, für diesen Fall wird die Abfrage aus Listing 5.12 verwendet.

Listing 5.12: Untersuchung searchdocument

```

explain (analyze)
select sd.id, documentid, datatype, startyear, startmonth, startday
      , startdatestatus , endyear, endmonth, endday, enddatestatus
      , author, coauthors, addressees, city, documentcategory
      , ispublishedindb, createdat, modifiedat, validuntil
from searchdocument sd
order by startyear desc, startmonth desc, startday desc
limit 400;

```

Der dazugehörige Abfrageplan ist in Listing 5.13 zu sehen, hierbei ist die erste Ausgabe mit dem erstellten Index. Vor der zweiten Ausgabe wurde dieser Index deaktiviert. Anhand der Ausgabe ist zu sehen, dass bei der Verwendung des Index weniger Operation notwendig sind und damit auch die teure Sortierung eingespart werden konnte. Dies liegt daran, dass der Index entsprechend des Sortierkriterien definiert wurde und somit ist es

möglich, direkt in dem Index die Elemente in der richtigen Reihenfolge zu ermitteln. Somit ist durch den Index der schnellstmögliche Zugriff gegeben. Bei einem *Seq Scan* ist die Ausgabe immer eine unsortierte Liste und benötigt daher im Nachgang eine zusätzliche Sortierung.

Listing 5.13: Abfrageplan searchdocument

```

Limit (cost=0.28..144.92 rows=400 width=948) (actual time=0.035..0.660 rows
      =400 loops=1)
  -> Index Scan Backward using idx_searchdocument_startdate on
      searchdocument sd (cost=0.28..1911.30 rows=5285 width=948) (actual
      time=0.033..0.593 rows=400 loops=1)
Planning Time: 0.199 ms
Execution Time: 0.732 ms

Limit (cost=747.69..748.69 rows=400 width=948) (actual time=2.128..2.146
      rows=400 loops=1)
  -> Sort (cost=747.69..760.90 rows=5285 width=948) (actual time
      =2.127..2.135 rows=400 loops=1)
      Sort Key: startyear DESC, startmonth DESC, startday DESC
      Sort Method: top-N heapsort Memory: 703kB
      -> Seq Scan on searchdocument sd (cost=0.00..492.85 rows=5285 width
      =948) (actual time=0.006..0.943 rows=5285 loops=1)
Planning Time: 0.056 ms
Execution Time: 2.164 ms

```

EVALUIERUNG

Nun werden die durchgeführten Anpassungen anhand ihre Effektivität betrachtet und unter welchen äußeren Einflüssen diese eine Optimierung darstellen. Weiterhin werden die Nachteile der Anpassungen überprüft und bei der Betrachtung der Effektivität mit beachtet.

Es wurden die Konfigurationen der Caches von OpenJPA, JPA und EJB aktiviert und deren Auswirkung betrachtet. Bei den Caches, bei denen eine Größe angebar ist, wurde zusätzlich mit der Anzahl variiert, um zu ermitteln, in welchem Umfang sich diese auswirken. Des Weiteren wird die Art der Programmierung für die Abfragen betrachtet, ob signifikante Unterschiede in der Performance und der Abarbeitung erkennbar sind. Als weiteren Punkt werden die Abfragen an die Datenbank untersucht, um zu ermitteln, ob diese durch Umstellung verbessert werden können. Danach werden die *Materialized View* verwendet, um zu ermitteln, ob durch einen vorverdichteten und aufbereiteten Datenbestand die Abfragen beschleunigt werden können. Abschließend werden die Abfragen in der Datenbank betrachtet und auf ihre Optimierungspotentiale hin untersucht.

6.1 NUTZERUMFRAGE

Zusätzlich war noch eine Befragung unter den Benutzern und den Entwicklern geplant. Auf Grund dessen, dass nur fünf Personen zur Verfügung stehen, ist dies nicht zielführend. Daher ist die einzig sinnvolle Alternative, welche gewählt wurde, ein rein technischer Ansatz.

6.2 UMGESTALTEN DER DATENBANKTABELLEN

Hierfür wurde die aktuelle Datenstruktur untersucht, um zu überprüfen, ob eine Umgestaltung der Tabelle eine Verbesserung bringt. Die typische Optimierung ist die Normalisierung der Tabellenstruktur. Die Tabellenstruktur ist aktuell schon normalisiert, daher kann hier nichts weiter optimiert werden.

Eine weitere Optimierungsstrategie besteht in der Denormalisierung, um sich die Verknüpfungen der Tabellen zu sparen. Dies ist in diesem Fall nicht anwendbar, da nicht nur 1:n Beziehungen vorhanden sind, sondern auch n:m Beziehungen. Dadurch erhöht sich fälschlicherweise die Anzahl der Dokumentenliste.

6.3 STATISCHE WEBSEITEN

Eine Umstellung der Dokumentenliste in eine statische Webseite würde die Zugriffszeiten sehr verkürzen. Darüber hinaus funktionieren in statischen Webseiten aber keine Suchen oder Sortierungen. Die Sortierung könnte durch das Erstellen von statischen Seiten aller Möglichkeiten der Sortierung emuliert werden, diese würde den notwendigen Speicherbedarf der Webseite vervielfachen. Für die Suchanfragen ist dies nicht mehr möglich, da nicht alle Suchanfragen vorher definiert werden können.

Die Umstellung der Suche auf Client-Basis wäre noch eine Möglichkeit, dafür benötigen die Clients entsprechende Leistung und es muss eine Referenzdatei erstellt werden, welche alle Informationen über die Dokumente beinhaltet, nach welcher gesucht werden kann.

Daher ist eine Umstellung auf statische Webseiten nicht sinnvoll.

6.4 CLIENT BASIERTE WEBSEITEN

Als weitere Möglichkeit könnte man die Webseite so umbauen, dass die Daten erst im Nachgang über eine AJAX-Anfrage ermittelt und die Sortierung und Aufteilung im Client durchgeführt wird. Hierbei wird allerdings je nach Datenmenge ein großer Speicher am Client benötigt und der Großteil der benötigten Rechenleistung zu dem Client verschoben.

Dies wiederum ist ein Vorteil für den Serverbetreiber, da durch die Verschiebung weniger Rechenleistung am Server benötigt wird. Gleichzeitig würde man wiederum schwächere Clients, wie Smartphones, aussperren, da bei diesem die notwendige Rechenleistung fehlt, um die Webseite in annehmbarer Zeit darzustellen.

6.5 SERVERSEITIGE PAGINIERUNG

Die Aufteilung eines großen Datenbestandes in mehrere einzelne Seiten ist eine der wenigen Optimierungsmöglichkeiten in der JSF-Ebene. Dieser Einbau optimiert direkt an mehreren Stellen, dazu gehört die kleinere Datenmenge, die vom Datenbankserver geladen wird. Ebenso wird entsprechend weniger Zeit benötigt, um die View zu erstellen, gleichzeitig wird die übertragene Datenmenge an den Client reduziert. Dadurch benötigt die Seite auf dem Client weniger Zeit zum Rendern.

Da das Paging für den Fall der Dokumentenliste implementiert ist, gibt es hier keine weiteren offensichtliche Optimierungsmöglichkeiten.

6.6 CACHING IM OPENJPA

Bei der Verwendung des OpenJPA-Caches gibt es einige Verbesserungen bei der Geschwindigkeit zu sehen. Die Höhe der Optimierungen hängt stark von der gewählten Cache-Größe und der aufgerufenen Webseiten ab. Solange die Anfragen sich auf die gleichen Objekte beziehen und diese alle im

Cache hinterlegt werden können, fällt die Optimierung entsprechend hoch aus. Sobald bei den Anfragen aber häufig die zu ermittelnden Objekte sich unterscheiden und alte Objekte wieder aus dem Cache entfernt werden, fällt die Performance-Verbesserung immer geringer aus.

Das Entfernen der Objekte kann zwar umgangen werden, indem die häufig abgefragten Objekte gepinnt werden, was aber den Speicherbedarf noch weiter erhöht, da diese Objekte nicht in die Zählung der Cache-Objekte miteinfließen. Als größten Nachteil des Caches ist zu nennen, dass die notwendige Speichermenge ständig zur Verfügung gestellt werden muss. Damit ist immer ein gewisser Grundbedarf notwendig, da sich der Speicher bis zum eingestellten Grenzwert aufbaut und dann nicht mehr entleert wird. Gerade bei kleiner dimensionierten Servern stellt dies ein größeres Problem dar, da nun weniger Speicher für die anderen laufenden Programme, wie dem Datenbankmanagementsystem, zur Verfügung steht.

Hierbei ist aber noch zu beachten, dass die Optimierung durch den Cache nicht die Laufzeit der Abfragen in der Datenbank enorm verringert hat, sondern die Laufzeit beim Erstellen der Objekte im *OpenJPA*-Framework. Dies sieht man sehr gut schon bei der ersten Messung, wie in Tabelle 5.3. Hierbei wird die Laufzeit in der Datenbank im Schnitt um circa 5 ms reduziert, allerdings wird die komplette Webseite fast 100 ms schneller an den Client ausgeliefert. Dies ist nur dadurch erklärbar, dass das Erstellen und mit den Datenwerte zu befüllen mehr Zeit kostet, als das Objekt aus dem Cache zu ermitteln und zurückzugeben.

Daher ist die Verwendung des *OpenJPA*-Cache nur in Verbindung mit einem größer dimensionierten Server gut verwendbar, wenn der Großteil der Objekte im Cache gehalten werden kann. Bei Bedarf sollten die häufig frequentierten Objekte explizit im Cache aufgenommen und angepinnt werden.

6.7 CACHED QUERIES

Die Optimierung über die gespeicherten Anfragen brachte keine Verbesserung hervor. Dies ist dadurch erklärbar, dass für die diese Art nur Anfragen verwendet werden, die keinerlei Bedingungen besitzen. In diesem Fall sind in der Tabelle noch nicht freigegebene und ungültige Datensätze gespeichert, daher müssen diese vor dem Übertragen herausgefiltert werden. Aus diesem Grund werden die Anfragen in diesem Cache nicht gespeichert.

Dadurch ist dieser Cache für eine Performance-Verbesserung in dem Fall der Dokumentenliste nicht anwendbar.

6.8 CACHING MIT EHCACHE

Mit dem *Ehcache* konnte eine Verbesserung in der Performance erzielt werden. Im Vergleich zum Cache von *OpenJPA* ist die Verbesserung sehr ähnlich. Die Standardwerte dieses Caches sind gut vordefiniert, es wird für den aktuellen Fall keine Anpassung benötigt, um eine gute Performance zu erreichen.

Hierbei ist natürlich das gleiche Problem wie in anderen Caches, dass beim Erreichen der Grenzen alte Objekte entfernt werden müssen.

Nach aktueller Beobachtung scheint die Verwaltung im Ehcache effizienter gestaltet zu sein als die des OpenJPA-Caches. Im Falle des Ehcache ist die interne Verwaltung auf mehrere Caches aufgebaut, dies ist daran zu sehen, dass in der Standardkonfiguration jede Klasse ihren eigenen Cache besitzt. Diese können einzeln konfiguriert und diagnostiziert werden, um diese genau auf die jeweiligen Bedürfnisse der Objekte anzupassen.

Im Falle der Verwendung des Caches ist auch hier gut zu sehen, dass der Speicheranstieg bei der Verwendung des Caches sehr gering ist, dies deutet ebenfalls darauf hin, dass die Speicherproblematik beim Erstellen von Objekten innerhalb des OpenJPA Framework liegen muss.

Durch die effizientere Verwendung des Speichers, ist der Ehcache die bessere Alternative zum OpenJPA-Cache. Dieser ist auch schon für kleinere Serverkonfigurationen gut verwendbar. Hierbei ist nur abzuwägen, mit welcher Größe der Cache bereitgestellt werden kann, dies hängt direkt vom verfügbaren Arbeitsspeicher ab.

6.9 CACHING IN EJB

Bei der Erweiterung des EJB konnte keine Verbesserung in der Performance festgestellt werden. Der Grund hierfür ist, dass der EJB-Cache die Provider beinhaltet, aber keine Daten-Objekte. Dadurch kann der Cache das Ermitteln der Objekte nicht optimieren.

Auf Grund dessen ist der EJB-Cache nicht für eine Performance-Verbesserung nutzbar.

6.10 ABFRAGEN MIT JPQL UND CRITERIA API

Bei dem Vergleich zwischen den zwei Abfragemöglichkeiten der JPQL und der Criteria API konnte in der Art der Abfragen kein Unterschied festgestellt werden. Die Abfragen der beiden Systeme sind auf Datenbankseite komplett identisch. Auch in der Übertragung der Daten aus der Datenbank in die Java-Objekte konnte kein Unterschied in der Art und Geschwindigkeit festgestellt werden.

Ebenfalls sind die Möglichkeiten der Optimierung durch die Hints identisch. In beiden Fällen haben die meisten Hints keinen nennenswerten Einfluss auf die Laufzeit der Abfragen und Übertragung in die Java-Objekte. Das sinnvolle Setzen von `OptimizeResultCount`, der `FetchSize` sowie der `FetchBatchSize` hilft dem Framework die Bearbeitung der Anfrage effizient abzuarbeiten, konnte aber in den gemessenen Laufzeiten nicht verifiziert werden.

Anders verhält sich dies mit der Einstellung für `EagerFetchMode`, welche definiert, wie die Daten für abhängige Klassen ermittelt werden. Bei der Umstellung auf *parallel* konnte für die Ermittlung der Dokumente einiges an Performance gewonnen werden. Das liegt daran, dass nun für die abhängi-

gen Objekte, wie den Koautoren, nicht pro Dokument eine Anfrage an die Datenbank gestellt wird, sondern es werden alle Koautoren für die ermittelten Dokumente auf einmal ermittelt. Die Zuordnung der Koautoren zu dem Dokument wird dann nun im Framework und nicht mehr durch die Datenbank durchgeführt. Diese Abarbeitung reduziert viele einzelne Abfragen und somit auch den entsprechend Overhead im Framework.

Folglich ist die Entscheidung der Technik für die Performance irrelevant und es kann das genutzt werden, was für den jeweiligen Einsatzzweck besser beziehungsweise einfacher zu programmieren ist. Das Setzen der richtigen Hints wiederum ist in beiden Fällen äußerst wichtig. Explizit bei der Eager-FetchMode muss vorher darüber nachgedacht werden, wie viele abhängige Objekttypen es zu dieser Klasse gibt, welche dazu geladen werden sollen und von welcher Anzahl an Objekte ausgegangen werden kann. Gerade bei einer größeren Anzahl lohnt es sich den Hint auf *parallel* zu setzen. Gleiches gilt bei dem Hint *SubclassFetchMode*, dieser steuert dimensionierte Abfragen im Falle von abgeleiteten Klassen.

6.11 MATERIALIZED VIEW

Die Idee der *Materialized View* ist simple, aber sehr effizient, gerade für einen Datenbestand, welcher häufig gelesen und selten verändert wird. Hierbei werden komplexe Abfragen einmalig ausgeführt und das Ergebnis intern zwischengespeichert. Für alle weiteren Aufrufe werden die Daten nun aus dem Zwischenspeicher gelesen und dem Aufrufer zurückgegeben. Der größte Nachteil der *Materialized View* ist, dass bei einer Änderung an den Quelldaten die Sicht aktualisiert werden muss. Dieser Nachteil kommt in einer Briefedition nicht zum tragen, da in dieser nach dem die Briefe einmalig eingepflegt wurden, nur noch selten Änderungen erfahren. Der Recherche zu dem Datenbestand wird die meiste Zeit gewidmet.

Ein weiterer Nachteil der *Materialized View* ist die doppelte Speicherung der Daten, da die Daten für die Sicht wie bei einer Tabelle auf der Festplatte gespeichert sind. Dieser Nachteil ist in der Dokumentliste vernachlässigbar, da sich die Daten auf die Meta-Daten der Dokumente, wie Namen, Datum und Autoren beschränkt. Der größte Datenbestand, die Faksimile, sind nicht in dieser Sicht enthalten und werden erst beim Anzeigen einer Kommunikation ermittelt. Zusätzlich ist zu beachten, dass bei der Verwendung eines Caches die Daten ebenfalls doppelt gehalten werden und in den meisten Fällen im Arbeitsspeicher gehalten werden.

Eine weitere Optimierung, welche durch die *Materialized View* entstanden ist, ist die direkte Integration der Autoren, der Koautoren und der Adressen im *Json*-Format. Durch diese aus dem Wedekind-Projekt übernommene Idee konnten schon viele zusätzliche Abfragen eingespart werden, da diese nicht mehr durch OpenJPA nach der Hauptabfragen für jede Datenzeile einzeln durchgeführt wird.

Zusätzlich konnte dies nochmal beschleunigt werden, in dem das Parsen der *Json*-Daten vom Server auf den Client verlagert wurde. Hiermit konnte

ein Teil der Last vom Server genommen und die gesamte Ausführungszeit nochmals optimiert werden. Die Wandlung der Daten in *HTML*-Objekte ist eine Kernkompetenz von JavaScript und damit auch bei schwächeren Clients in kurzer Zeit durchführbar.

Als weiteren Punkt ist anzumerken, dass der Speicherbedarf des Webserver relativ konstant bleibt, ohne dass ein Cache verwendet wird. Der größte Unterschied zur Standardimplementierung ist die Verwendung von eigenen Codes, um die Objekte zu erstellen und zu befüllen und es nicht durch das OpenJPA-Framework durchführen zu lassen. Dies legt den Schluss nahe, dass Probleme in der Speicherverwaltung der Objekte im OpenJPA-Framework existieren.

Zusammenfassend ist zu sagen, dass die *Materialized View* eine gute Wahl ist, um die Listendarstellungen zu optimieren. Mit dieser Technik können zum einen die Abfragezeiten optimiert werden, wodurch gleichzeitig die Ressourcennutzung verringert wird. Zum anderen wird die Ressourcennutzung des Servers noch weiter reduziert, wenn die *Json*-Verarbeitung an den Client ausgelagert wird. Durch die doppelte Datenhaltung muss bei jeder Abfrage geprüft werden, ob die Nutzung der *Materialized View* sinnvoll ist oder direkt auf denormalisierte Daten umgestellt werden sollte, weil der zusätzliche benötigte Speicher größer als die Quelle ist. Im Gegensatz zu einer reinen Cache-Lösung, die die gleiche Optimierung besitzt, ist diese vorzuziehen, da in den meisten Fällen der Festplattenspeicher kostengünstiger als der Arbeitsspeicher ist. Zusätzlich ist der Cache begrenzt und wirft alte Objekte heraus. Wenn dieser voll ist wird ein Zugriff auf diese entfernten Objekte langsamer. Somit ist die Optimierung über die *Materialized View* auf lange Zeit gesehen kostengünstiger und stabiler.

6.12 OPTIMIERUNG DER ABFRAGE

Die Abfragen, die durch die OpenJPA an die Datenbank abgesetzt werden, sind meist durch ihre Einfachheit gut optimiert. Nur durch Sortierung oder Bedingungen können die Abfragen langsamer werden. Diese können durch entsprechende Indexe gelöst werden. Bei größeren Abfragen mit mehreren Joins kann durch geschicktes umstellen die Performance verbessert werden. Die Hauptabfrage der Dokumentenliste besteht aus mehreren Joins und diese wurde explizit untersucht.

Der Abfrageplan der Hauptabfrage wurde visuell untersucht und zeigt, dass das Hauptproblem die nicht eingeschränkte Datenmenge der Haupttabelle *document* ist. Dadurch werden die anderen Tabellen komplett geladen anstatt die Zugriffe über die vorhandenen Indexe durchzuführen, obwohl die Bedingungen über die Primary Key definiert sind. Für den PostgreSQL ist es laut Berechnung kostengünstiger mit einem *Seq Scan*, was einem kompletten Durchlaufen der Tabelle entspricht, zu arbeiten.

Um dies zu optimieren, werden über eine *Common Table Expression* zuerst die eingeschränkten Datenzeilen ermittelt, diese mit der Haupttabelle verknüpft und anschließend die anderen Tabellen hinzugenommen. Hierdurch

kann die Zeilenanzahl während der Verarbeitung enorm verringert werden, wodurch einige der Verknüpfungen auf Indexzugriffe umgestellt werden. Durch die Umstellung kann die Abfragezeit um mehr als das dreifache reduziert werden.

Mit dieser Art der Umstellung können Abfragen optimiert werden, die für das Paging verwendet werden und die Abfrage aus mehrere Tabellen besteht. Das Wichtigste hierbei ist, dass die Bedingungen und die Sortierkriterien auf der Haupttabelle arbeiten. Wenn dem nicht so ist, müssen Joins in die *Common Table Expression* mit aufgenommen werden und damit funktioniert die Reduzierung der Datensätze weniger effizient. Bei der Selektion einer Tabelle hat diese Art der Optimierung keine Auswirkung, hier hilft nur das geschickte Setzen von Indexen auf die Tabelle, welche die Bedingungen und die Sortierkriterien beinhalten. Dies wird mit der Untersuchung der Abfrage auf die *Materialized View* bestätigt.

ZUSAMMENFASSUNG UND AUSBLICK

7.1 ZUSAMMENFASSUNG

Die Untersuchungen am Beispiel des Wedekind-Projektes zeigen, dass mehrere Optimierungsmöglichkeiten in den Briefeditionen existieren. Für die Untersuchung wurde sich auf die Dokumentenliste beschränkt und anhand dieser die Optimierung implementiert, untersucht und jeweils mit der Ausgangsmessung verglichen. Für die Messung wurden Skripte erstellt, welche auf dem gleichen Computer wie der Webserver und der Datenbankserver laufen, damit diese auch vergleichbar bleiben und externe Einflussfaktoren minimiert werden.

Durch die Ausgangsmessungen war erkennbar, dass der größte Teil der Verarbeitungszeit im Bereitstellen der Entitäten liegt. Die Messung der Abfragen auf der Datenbank wiederum konnte die hohe Verarbeitungszeit nicht bestätigen, daher lag hier die Vermutung nahe, dass der Großteil der Zeit im Object Relational Mapping (ORM) verloren geht.

Die Methode der Nutzerumfrage wurde nicht weiterverfolgt, da diese auf Grund von zu wenigen Bedientern nicht zielführend war. Bei der Untersuchung der Datenbank wurde festgestellt, dass die Struktur aktuell für die Anwendung optimal ist und daher eine Restrukturierung keine Vorteile entstehen lässt. Die statische Webseite und die komplett client basierte Webseite wurden auf Grund von technischen Einschränkungen nicht weiterverfolgt.

Bei den Caches sind der Query-Cache und der EJB-Cache nicht für die Optimierung verwendbar. Der Query-Cache wird von OpenJPA nur verwendet, wenn die Abfrage keine Parameter besitzt, welche in der Dokumentliste verwendet werden müssen. Im EJB-Cache werden nicht die Objekt, sondern die Provider gespeichert, wodurch hier keine Auswirkung auf die Performance festgestellt werden konnte.

Anders sieht es bei dem OpenJPA-Cache aus, dieser hat direkten Einfluss auf die Performance der Ermittlung der Daten und Bereitstellung der dazugehörigen Java-Objekte. Anhand der vorgegeben Cache-Größe kann das Potential der Optimierung eingestellt werden. Dies bedeutet, soweit der Cache groß genug ist, um alle notwendigen Objekte zu speichern, sind die Verbesserungen gut sichtbar. Ab dem Zeitpunkt ab dem Objekte aus dem Cache entfernt werden müssen, wird die Optimierung immer geringer.

Ein sehr ähnliches Verhalten konnte mit dem Ehcache festgestellt werden, nur dass bei diesem die Limitierungen höher angesetzt sind und die Verwaltung des Caches im Gesamtsystem effizienter aufgebaut ist, als bei OpenJPA.

In beiden Fällen der Optimierung über die Nutzung eines Caches konnte durch die Messungen in der Software und der Abfragen an der Datenbank

nachgewiesen werden, dass nicht das Ermitteln der Daten die größte Zeit einnimmt, sondern das Erstellen und Befüllen der Objekte in Java.

Bei dem Vergleich der unterschiedlichen Abfragemethoden Criteria API und JPQL konnte kein Unterschied in der Performance und Abarbeitung festgestellt werden. Bei beiden Methoden konnte nachgewiesen werden, dass die syntaktisch gleichen Abfragen an die Datenbank gestellt wurden. Bei den Abfragen zur Dokumentenliste konnten in beiden Fällen durch die Umstellung der Ermittlung der unterlagerten Daten durch Hints eine Optimierung erreicht werden. Die Umstellung bezweckt, dass die unterlagerten Daten nicht einzeln für jede Zeile ermittelt werden, sondern alle Daten auf einmal geladen werden und die Zuordnung der Datensätze im OpenJPA-Framework durchgeführt wird.

Mit der Übernahme der *Materialized View* aus dem Wedekind-Projekt kann eine gute Optimierung beobachtet werden. Dies ist auf die einfachere Abfrage, die Reduzierung der Abfrage an den Datenbankserver und dass die Objekte im eigenen Code erstellt werden zurückzuführen und nicht auf das OpenJPA-Framework. Hierbei konnte noch nachgewiesen werden, dass das Parsen der Json-Daten, die die unterlagerten Objekte enthalten, den größten Teil der Zeit benötigen. Auf Grund dessen wurde das Parsen der Json-Daten auf den Client verschoben, was zu einem noch besseren Ergebnis führte.

Für die Optimierung der Abfragen wurde die Hauptabfrage betrachtet. Bei dieser konnte anhand der visuellen Darstellung das Problem gut identifiziert werden. Durch die Verwendung einer *Common Table Expression* wurde die Anzahl der Datensätze direkt am Anfang auf die angefragte Menge reduziert, wodurch die Anzahl der zu betrachteten Datensätze für die weiteren Verlinkungen enorm reduziert wird. Somit konnte der Datenbankserver bei diesen Verlinkungen auf Indexe zurückgreifen und damit die Abfragen zusätzlich beschleunigen.

Die Untersuchungen zeigen, dass mehrere Möglichkeiten zur Optimierung existierten, um die Zugriffe auf die Briefeditionen zu beschleunigen und dass das größte Optimierungspotential in dem ORM liegt. Die Umstellung auf eine *Materialized View* ist eine sinnvolle Wahl, wenn die Abfrage der Daten komplexer ausfällt oder aus mehreren n:m-Beziehungen besteht. Bei der Verwendung eines Caches sollte darauf geachtet werden, dass die notwendigen Ressourcen am Server bereitgestellt werden können und es wird empfohlen auf den Ehcache umzustellen.

7.2 AUSBLICK

Die Untersuchungen zeigen, dass die Schichten über OpenJPA weitestgehend optimal umgesetzt sind, beziehungsweise wenig Möglichkeiten für eine Optimierungen zulassen. Einzig das Parsen von Json ist in einem Webbrowser schneller als im Server durchführbar. Auf diese Weise könnten zusätzlich die Ressourcen am Server reduziert werden beziehungsweise mit gleichen Ressourcen mehr Anfragen als bisher beantwortet werden.

Die größten Optimierungspotentiale können durch Umstellung der Abfragen und der Optimierung des ORM umgesetzt werden. Bei den Umstellungen der Abfragen ist die größte Stärke, wenn die Anzahl der Abfragen drastisch reduziert werden könnte.

Dadurch zeigt sich, dass die Untersuchung auf Ebene der ORM noch nicht abgeschlossen ist. Weitere Untersuchungen von anderen ORM könnten wie in Abschnitt 6.11 angedeutet das Speicherproblem lösen, sowie eine generelle Optimierung der Webseite zur Folge haben. Eine eigenständige Implementierung eines einfachen ORM wäre ebenfalls in Betracht zu ziehen, solange sich die Komplexität der Daten-Struktur nicht erhöht.

Teil I

APPENDIX



ZEITMESSUNG DER WEBSEITE

Mit dem nachfolgenden Skript werden die hinterlegten URLs mehrfach ausgeführt. Jeder Aufruf wird gemessen und pro URL die kürzeste, die längste, die durchschnittliche Laufzeit und die Standardabweichung ausgegeben.

Listing A.1: Zeitmessung

```
#!/bin/bash
#
# Activate Bash Strict Mode
set -euo pipefail

main() {
    {
        local maxLen=0
        for url in ${@:2}; do
            local size=${#url}
            if [[ $size -gt $maxLen ]]
            then maxLen=$size
            fi
        done

        printf "%-${maxLen}s  %4s %5s %9s %9s %9s %9s\n" "URL" "
            Runs" "StDev" "Min (ms)" "Avg (ms)" "Max (ms)" "1st (ms)"
        for url in ${@:2}; do
            get_statistics $url $1 $maxLen
        done
    } #| column -s $'\t' -t
}

get_statistics() {
    # Initialize the variables
    local first=-1
    local min=1000000000
    local max=0
    local dur=0
    local durQ=0
    local spin=0
    local activeSpinner=0
    local spiner=('-' '\ ' '| ' '/')

    printf "%-${maxLen}s  " $1
    if [[ $activeSpinner -ne 0 ]]
    then printf " "
    fi
    #echo -ne "$1\t "
}
```

```

# repeat for the defined counts the url calling
for i in $(seq 1 $2); do
    if [[ $activeSpinner -ne 0 ]]
        then echo -ne "\b${spiner[$spin]}"
    fi
    spin=$(( (spin+1) % 4 ))
    local gp=$((get_posts $1)/1000000) # from ns to ms
    if [[ $first -lt 0 ]]
        then first=$gp
    fi
    if [[ $gp -gt $max ]]
        then max=$gp
    fi
    if [[ $gp -lt $min ]]
        then min=$gp
    fi
    dur=$(( $dur + $gp ))
    durQ=$(( $durQ + (($gp * $gp)) ))
done

local avg=$(( $dur / $2 ))
local avgPow=$(( $avg * $avg ))
local stdev=$( echo "sqrt(($durQ / $2) - $avgPow)" | bc )

# output the statistic values
if [[ $activeSpinner -ne 0 ]]
    then echo -ne "\b"
fi
printf "%+4s %+5s %+9s %+9s %+9s %+9s\n" $2 $stdev $min $avg $max
    $first
#echo -e "\b$2\t$stdev\t$min\t$avg\t$max\t$first"
}

get_posts() {
    # Call the url with measure time
    local start=$(date +%s%N)
    curl --silent --show-error $1 > /dev/null
    local stop=$(date +%s%N)
    local dur=$(( $stop - $start ))
    echo $dur
}

print_process() {
    ps -C java --no-headers --format "pid %cpu %mem rss pss cmd" |\
    awk 'BEGIN { printf "%6s %5s %4s %13s %13s %-50s\n", "pid", "%cpu", "%mem", "rss Mb", "pss Mb", "cmd" }
    {hr=$4/1024; hp=$5/1024; printf("%6i %5.1f %4.1f %13.2f %13.2f %s\n", $1, $2, $3, hr, hp, $6) }'
}

print_docker_process() {

```

```
    sudo docker stats --no-stream
}

# the main domain
#hostname="https://briefedition.wedekind.h-da.de"
hostname="http://localhost:8080/WedekindJSF-1.0.0"

# the Array of the Urls
url_arr=(
    "$hostname/index.xhtml"
    "$hostname/view/document/list.xhtml"
    #"$hostname/view/document/listsearch.xhtml" #Materialized View
)

#print_process
print_docker_process
echo ""

# Execute all the URLs for 10 rounds
main 10 ${url_arr[@]}

echo ""
#print_process
print_docker_process
```

DOCKER KONFIGURATION

Da die Leistung des Computers zu hoch ist, um vergleichbare Zahlen bei den Datenbank-Anfragen ermitteln zu können, wurde der Postgres-Server sowie der Payara-Server in einen Docker-Container verpackt und die Leistung limitiert.

Listing B.1: Docker-Compose

```
services:
  db:
    image: postgres
    container_name: postgreddb
    restart: always
    hostname: postgres
    ports:
      - "5432:5432"
    environment:
      POSTGRES_USER: <username>
      POSTGRES_PASSWORD: <password>
      POSTGRES_DB: <dbname>
    volumes:
      - ./data:/var/lib/postgresql/data
    deploy:
      resources:
        limits:
          cpus: '0.30'
          memory: 500m
  ws:
    image: payara/server-full
    container_name: payara
    ports:
      - "4848:4848"
      - "8080:8080"
      - "8181:8181"
      - "9009:9009"
    volumes:
      - ./payara/postgresql-42.7.3.jar:/opt/payara/appserver/glassfish/domains/domain1/lib/postgresql-42.7.3.jar
      - ./payara/logs:/opt/payara/appserver/glassfish/domains/domain1/logs/
```

```
- ./payara/config:/opt/payara/appserver/glassfish
  /domains/domain1/config/
- ./payara/applications:/opt/payara/appserver/
  glassfish/domains/domain1/applications/
deploy:
  resources:
    limits:
      cpus: '2.00'
      memory: 2g
links:
  - db
```

AUFRUF SKRIPT

Um die Messungen etwas zu vereinfachen, wurde ein Skript erstellt, um die Aufrufe gesammelt durchzuführen. Um die Messungen durchzuführen, werden die Befehle, wie in Listing C.1 dargestellt aufgerufen. Durch die nummerierten Präfixe können im Nachgang über die *pgBadger*-Berichte die SQL-Abfragen verglichen werden. Wichtig hierbei ist noch, dass vor dem *measrun*-Aufruf überprüft wird, ob die Docker-Container gestartet und initialisiert sind. Wenn dies nicht der Fall ist, laufen die Abfragen ins Leere. Am einfachsten ist das, wie dargestellt, über die Statistik von Docker zu ermitteln. Darüber wird überwacht, dass die CPU-Auslastung auf ein niedriges Level fällt, danach kann das Skript für die Messungen aufgerufen werden.

Listing C.1: Aufrufe des Unterstützungsscriptes

```
callscript.sh measinit
callscript.sh -rppf=_testname measres
callscript.sh dcstats
callscript.sh -rppf=_testname measrun
```

Listing C.2: Unterstützungsscript

```
#!/bin/bash

payara_path="/opt/docker/payara"
postgres_path="/var/lib/postgres"
postgres_path="/opt/docker"
postgres_data_path="$postgres_path/data"
postgres_log_path=$postgres_data_path/log

payara_config="$payara_path/config/domain.xml"
domain_log="$payara_path/logs/server.log"
script_path="/opt/docker/timing.sh"
pgbadger_out="/opt/docker/pgreport"
report_postfix=""
report_postno=""
report_postmax="5"
docker_name=dcpgbatch

COMPOSE_FILE=/opt/docker/docker-compose.yaml

gflog() {
    echo "follow the log: $domain_log"
    tail -f $domain_log
}

gflogrm() {
    echo "remove the log: $domain_log"
```

```

    rm "$domain_log"
}
gfconf() {
    nvim "$payara_config"
}
gfscript() {
    gflogcount=$(cat "$domain_log" | wc -l)
    outPath=$pgbadger_out$report_postfix/bash.out
    touch "$outPath"
    echo "" >>"$outPath"
    echo "===== " >>
        "$outPath"
    echo "calling number $report_postno / $report_postmax" >>"$outPath"
    echo "" >>"$outPath"
    bash $script_path | tee -a "$outPath"
    gflastlog=$(cat "$domain_log" | wc -l)
    gfcnt=$((gflastlog - gflogcount))
    printf "\n%-20s %-5s %-9s %-9s %-9s %-9s\n" "function" "Runs" "Min (ms)"
        )" "Avg (ms)" "Max (ms)" "1st (ms)" >>"$outPath"

tail -$gfcnt $domain_log | awk '/PerformanceCounter-create \\/view/
    { print $3 }' | awk 'BEGIN {min=500;max=0} {sum += $1; cnt +=
    1}; first == "" { first = $1 }; min > $1 { min = $1 } max < $1 {
    max = $1 } END { if (cnt < 1) {cnt = -1}; printf("%-20s %5i %9.3f
    %9.3f %9.3f\n", "view-create-list", cnt, min, sum/cnt, max,
    first) }' >>"$outPath"
tail -$gfcnt $domain_log | awk '/PerformanceCounter-build \\/view/
    { print $3 }' | awk 'BEGIN {min=500;max=0} {sum += $1; cnt
    += 1}; first == "" { first = $1 }; min > $1 { min = $1 } max < $1
    { max = $1 } END { if (cnt < 1) {cnt = -1}; printf("%-20s %5i %9.3
    f %9.3f %9.3f %9.3f\n", "view-buildr-list", cnt, min, sum/cnt, max
    , first) }' >>"$outPath"
tail -$gfcnt $domain_log | awk '/PerformanceCounter-loadData \\/view/
    { print $3 }' | awk 'BEGIN {min=500;max=0} {sum += $1; cnt +=
    1}; first == "" { first = $1 }; min > $1 { min = $1 } max < $1 {
    max = $1 } END { if (cnt < 1) {cnt = -1}; printf("%-20s %5i %9.3f
    %9.3f %9.3f %9.3f\n", "view-loadadt-list", cnt, min, sum/cnt, max,
    first) }' >>"$outPath"
tail -$gfcnt $domain_log | awk '/PerformanceCounter-loadDataMap \\/view
    / { print $3 }' | awk 'BEGIN {min=500;max=0} {sum += $1; cnt +=
    1}; first == "" { first = $1 }; min > $1 { min = $1 } max < $1 {
    max = $1 } END { if (cnt < 1) {cnt = -1}; printf("%-20s %5i %9.3f
    %9.3f %9.3f %9.3f\n", "view-loadadm-list", cnt, min, sum/cnt, max,
    first) }' >>"$outPath"
tail -$gfcnt $domain_log | awk '/PerformanceCounter-renderData \\/view/
    { print $3 }' | awk 'BEGIN {min=500;max=0} {sum += $1; cnt +=
    1}; first == "" { first = $1 }; min > $1 { min = $1 } max < $1 {
    max = $1 } END { if (cnt < 1) {cnt = -1}; printf("%-20s %5i %9.3f
    %9.3f %9.3f %9.3f\n", "view-rdrdat-list", cnt, min, sum/cnt, max,
    first) }' >>"$outPath"
tail -$gfcnt $domain_log | awk '/PerformanceCounter-renderLoad \\/view/
    { print $3 }' | awk 'BEGIN {min=500;max=0} {sum += $1; cnt +=

```

```

    1}; first == "" { first = $1 }; min > $1 { min = $1 } max < $1 {
    max = $1 } END { if (cnt < 1) {cnt = -1}; printf("%-20s %5i %9.3f
    %9.3f %9.3f %9.3f\n", "view-rdrlst-list", cnt, min, sum/cnt, max,
    first) }' >>"$outPath"
tail -$gfcnt $domain_log | awk '/PerformanceCounter-render \view/
    { print $3 }' | awk 'BEGIN {min=500;max=0} {sum += $1; cnt +=
    1}; first == "" { first = $1 }; min > $1 { min = $1 } max < $1 {
    max = $1 } END { if (cnt < 1) {cnt = -1}; printf("%-20s %5i %9.3f
    %9.3f %9.3f %9.3f\n", "view-render-list", cnt, min, sum/cnt, max,
    first) }' >>"$outPath"
}

pginit() {
    sudo chmod g+x $postgres_path
    sudo chmod g+x $postgres_data_path
    sudo chmod g+rx $postgres_log_path
}

pglogls() {
    echo "show postgresql logfiles"
    ls $postgres_log_path/ -lhtc
}

pglogrm() {
    cnt=${1:-10}
    cntTail=$((cnt + 1))
    echo "remove old postgresql logfiles from $(ls $postgres_log_path/ -tc
    | wc -l) until $cnt (~${cnt}oo MB) $cntTail"
    ls $postgres_log_path/ -tc | tail -n +$cntTail | xargs -r -I{} sudo rm
    "$postgres_log_path/{}"
}

pglog() {
    pg_log=$(ls $postgres_log_path/ -tc --ignore '*log' | head -n 1)
    echo "follow the log: $postgres_log_path/$pg_log"
    tail -n 3 -f $postgres_log_path/$pg_log
}

pgconf() {
    sudo nvim "${postgres_path}/postgresql.conf"
}

pgrp() {
    mkdir -p $pgbadger_out$report_postfix
    mkdir -p $pgbadger_out$report_postfix$report_postno
    outPath=$pgbadger_out$report_postfix/bash.out
    touch "$outPath"
    echo "" >>"$outPath"
    pgbadger -X -I -f jsonlog -j 10 -0
    $pgbadger_out$report_postfix$report_postno $postgres_log_path/
    postgresql-*.json 2>&1 | tee -a "$outPath"
}

pgrpres() {
    if [[ "$report_postfix" == "" ]]; then
        rm -R $pgbadger_out
    else
        rm -R $pgbadger_out$report_postfix*
    fi
}

```

```

    fi
}
pgrpout() {
    echo "Show bash output"
    outPath=$pgbadger_out$report_postfix/bash.out
    cat "$outPath"
}
}
dcreate() {
    sudo docker compose -f $COMPOSE_FILE create --force-recreate
}
}
dconf() {
    nvim $COMPOSE_FILE
}
}
dstart() {
    sudo docker compose -f $COMPOSE_FILE start
    sleep 2
    pginit
}
}
dstop() {
    sudo docker compose -f $COMPOSE_FILE stop
}
}
dres() {
    sudo docker compose -f $COMPOSE_FILE down
}
}
dstats() {
    sudo docker stats
}
}
meascall() {
    gfscrip
    pgrp
    pglogrm
}
}
measrun() {
    for i in $(seq 1 $report_postmax); do
        report_postno=$i
        meascall
    done
}
}
for name in "$@"; do
    case $name in
        -rppf=*) report_postfix="{name#*=}" ;;
        -rppn=*) report_postno="{name#*=}" ;;
        -rppm=*) report_postmax="{name#*=}" ;;
        gflog) gflog ;;
        gflogrm) gflogrm ;;
        gfconf) gfconf ;;
        gfscrip) gfscrip ;;
        gfrestart) pgrpinit ;;
        pginit) pginit ;;
        pglogls) pglogls ;;
        pglogrm) pglogrm ;;
        pglog) pglog ;;
    esac
done

```

```

pgconf) pgconf ;;
pgrstart) pgrstart ;;
pgrp) pgrp ;;
pgrpres) pgrpres ;;
pgrpout) pgrpout ;;
dcinit) dcreate ;;
dcconf) dconf ;;
dcstart) dcstart ;;
dcstop) dcstop ;;
dcres) dcres ;;
dcstats) dcstats ;;
measinit)
    pginit
    pgrpres
    pglogrm 0
    gflogrm
    dcreate
    dcstart
    ;;
measres)
    dcstop
    pgrpres
    pglogrm 0
    gflogrm
    dcstart
    pgrp
    pglogrm
    ;;
meascall) meascall ;;
measrun) measrun ;;
help)
    echo "CALLING: $0 <function> [ <function>]"
    echo "The overview of the functions of this script."
    echo "It is allowed to enter multiple functions in one execute,"
    echo "that would be called serialized."
    echo "ATTENTION: parameter must be defined in front of the commands!"
    "
    echo ""
    echo "*** parameter ***"
    echo " -rppf=<val> Postfix name for the report-folder (used by
    gfscript, pgrp, pgrpres, measres, meascall)"
    echo " -rppn=<val> Postfix number for the report-folder (used by
    pgrp, measres, meascall)"
    echo " -rppm=<val> Count of calling meascall (used by measrun)"
    echo ""
    echo "*** glassfish ***"
    echo " gflog Show and follow the log of the glassfish server
    with $domain_name"
    echo " gflogrm Remove the log file of the glassfish server with
    $domain_name"
    echo " gfconf Open the configuration file from glassfish server"
    echo " gfscript Calls the testscript for the website"

```

```

echo ""
echo "*** postgresql ***"
echo "  pginit   Initialize the folder for postgresql log-folder"
echo "  pglogls  Show the current content of the log-folder from
postgresql"
echo "  pglogrm  Clean the log-folder from postgresql, the newest
20 files are sill available"
echo "  pglog    Show and follow the last log from postgresql"
echo "  pgconf   Open the configuration file from postgresql"
echo "  pgrestart Restart the postgresql"
echo "  pgrp     Generate the pgbadger report from postgresql log
files"
echo "  pgrpout  Show the saved output of the bash scripts"
echo "  pgrpres  Resetet the output of pgbadger"
echo ""
echo "*** docker ***"
echo "  dcinit   Create the both docker container"
echo "  dcconf   Open the configuration file for the docker
container"
echo "  dcstart  Start the both docker container"
echo "  dcstop   Stop the both docker container stoppen"
echo "  dcres    Stop and remote the both docker container"
echo "  dcstats  Show the docker live statistik"
echo ""
echo "*** combine cmds ***"
echo "  measinit Initialize everthing after start"
echo "  measres  reset data for new measuring"
echo "  meascall execute one measure"
echo "  measrun  execute <rpm> calls of measure (default: 5 runs)"
;;
*)
echo >&2 "Invalid option $name"
exit 1
;;
esac
done

```

JSF PERFORMANCE STATISTICS SERVLET

Um die Cache-Informationen über einen Application Programming Interface (API)-Aufruf bereitzustellen, wird ein Servlet (Listing D.1) und ein Provider (Listing D.2) benötigt. Um das Servlet abfragen zu können, muss es in das Routing aufgenommen werden, hierfür wird noch ein zusätzlicher Eintrag in der *web.xml* benötigt, der in Listing D.3 dargestellt ist.

Listing D.1: Performance Statistics Servlet

```
public class PerfStatServlet extends HttpServlet {
    private final static Logger m_Logger = Logger.getLogger(
        PerfStatServlet.class.toString());

    @Inject
    private PerfStatistics perfStatistics;

    public PerfStatServlet() {
        m_Logger.info("PerfStatServlet() Constructor");
    }

    @Override
    protected void doGet(HttpServletRequest req, HttpServletResponse
        resp) throws ServletException, IOException {
        String openJPAStatistics = perfStatistics.getOpenJPAStatistics()
            ;
        String entityClasses = perfStatistics.getEntityClasses();
        String ehCache = perfStatistics.getEhCacheManager();

        resp.setStatus(HttpServletResponse.SC_OK);
        resp.setContentType(MediaType.APPLICATION_JSON);
        PrintWriter out = resp.getWriter();
        out.print("{ \"openJPAStatistics\": ");
        out.print(openJPAStatistics);
        out.print(", \"entityClasses\": ");
        out.print(entityClasses);
        out.print(", \"ehCache\": ");
        out.print(ehCache);
        out.print(" }");
    }
}
```

Listing D.2: Performance Statistics Provider

```
public interface PerfStatistics {
    String getOpenJPAStatistics();
    String getEntityClasses();
}
```

```

    String getEhCacheManager();
}

@Stateless
public class PerfStatisticsImpl implements PerfStatistics {
    @Inject
    private EntityManagerJPAFactory entityManagerFactory;
    private OpenJPAEntityManagerFactory openJPAEntityManagerFactory;

    @PostConstruct
    public void init() {
        openJPAEntityManagerFactory = OpenJPAPersistence.cast(
            entityManagerFactory.getEntityManager().
            getEntityManagerFactory());
    }

    @Override
    public String getOpenJPAStatistics() {
        StoreCache cache = openJPAEntityManagerFactory.getStoreCache();

        CacheStatistics st = cache.getStatistics();
        return st != null ? String.format("{ \"ReadCount\": %d, \"
            HitCount\": %d, \"WriteCount\": %d }", st.getReadCount(), st
            .getHitCount(), st.getWriteCount()) : "{}";
    }

    @Override
    public String getEntityClasses() {
        StringBuilder res = new StringBuilder("{ \"Entities\": [");

        EntityManagerFactory emf = openJPAEntityManagerFactory;
        EntityManager em = emf.createEntityManager();
        Cache cache = emf.getCache();
        if (cache == null)
            return "{}";

        for(EntityType<?> entityType : em.getMetamodel().getEntities())
        {
            Class<?> cls = entityType.getBindableJavaType();
            res.append(String.format("\"%s\", ", cls.getCanonicalName())
                );
        }
        res.append("\"\"], \"Cache\": \"");
        res.append(cache.toString());
        res.append("\" }");
        return res.toString();
    }

    @Override
    public String getEhCacheManager() {
        List<CacheManager> tmpMgr = CacheManager.ALL_CACHE MANAGERS;
        StringBuilder res = new StringBuilder("{ \"count\": ");
    }

```



```

res.append(tmpMgr.size());
res.append(", \"CacheManagers\": [");
for(CacheManager cm : tmpMgr) {
    res.append(String.format("{ \"name\": \"%s\", \"caches\": [\"
        , cm.getName());
    String[] cacheNames = cm.getCacheNames();
    for (String cacheName : cacheNames) {
        net.sf.ehcache.Cache ec = cm.getCache(cacheName);
        Statistics stat = ec.getStatistics();
        res.append(String.format("{ \"name\": \"%s\", \"status
            \": \"%s\", \"CacheHits\": %d, \"CacheMisses\": %d,
            \"ObjectCount\": %d, \"AvgGetTime\": %f, \"
            AvgSearchTime\": %d }, \"
                , cacheName, ec.getStatus(), stat.getCacheHits()
                , stat.getCacheMisses(), stat.getObjectCount
                ()
                , stat.getAverageGetTime(), stat.
                getAverageSearchTime()));
    }
    res.append("\", \"");
}
res.append("{}] ]");
return res.toString();
}
}

```

Listing D.3: Einbindung Servlet

```

<servlet>
  <servlet-name>PerformanceStatisticServlet</servlet-name>
  <servlet-class>de.wedekind.servlets.PerfStatServlet</servlet-class>
</servlet>
<servlet-mapping>
  <servlet-name>PerformanceStatisticServlet</servlet-name>
  <url-pattern>/api/perfstat</url-pattern>
</servlet-mapping>

```

JSF PERFORMANCE MEASURE

Für die Protokollierung der Abläufe im JSF werden zwei Klassen benötigt. Über die Factory E.2, wird die Wrapper-Klasse in die Bearbeitungsschicht eingeschleust. Diese Wrapper-Klasse E.1 beinhaltet dann die eigentliche Performance-Messung, inklusive der Ausgabe in die Log-Datei des *GlassFish*-Servers. Zusätzlich muss die Konfiguration `faces-config.xml` noch angepasst werden, wie in E.3, um die Factory durch das System aufrufen zu lassen.

Listing E.1: Vdi Logger

```
public class VdlLogger extends ViewDeclarationLanguageWrapper {
    private static final Logger logger_ = Logger.getLogger(VdlLogger.
        class.getName());
    private final ViewDeclarationLanguage wrapped;

    public VdlLogger(ViewDeclarationLanguage wrapped) {
        this.wrapped = wrapped;;
    }

    @Override
    public UIViewRoot createView(FacesContext context, String viewId) {
        long start = System.nanoTime();
        UIViewRoot view = super.createView(context, viewId);
        long end = System.nanoTime();
        logger_.severe(String.format("PerformanceCounter-create %s: %.6f
            ms", viewId, (end - start) / 1e6));
        return view;
    }

    @Override
    public void buildView(FacesContext context, UIViewRoot view) throws
        FacesException, IOException {
        long start = System.nanoTime();
        super.buildView(context, view);
        long end = System.nanoTime();
        logger_.severe(String.format("PerformanceCounter-build %s: %.6f
            ms", view.getViewId(), (end - start) / 1e6));
    }

    @Override
    public void renderView(FacesContext context, UIViewRoot view) throws
        FacesException, IOException {
        long start = System.nanoTime();
        super.renderView(context, view);
        long end = System.nanoTime();
    }
}
```

```

        logger_.severe(String.format("PerformanceCounter-render %s: %.6f
            ms", view.getViewId(), (end - start) / 1e6));
    }

    @Override
    public UIComponent createComponent(FacesContext context, String
        taglibURI, String tagName, Map<String, Object> attributes) {
        long start = System.nanoTime();
        UIComponent component = super.createComponent(context, taglibURI
            , tagName, attributes);
        long end = System.nanoTime();
        logger_.severe(String.format("PerformanceCounter-creatc $s: %.6f
            ms", taglibURI, (end - start) / 1e6));
        return component;
    }

    @Override
    public ViewDeclarationLanguage getWrapped() { return wrapped; }
}

```

Listing E.2: Vdi Logger Factory

```

public class VdlLoggerFactory extends ViewDeclarationLanguageFactory {
    private final ViewDeclarationLanguageFactory wrapped_;

    public VdlLoggerFactory(ViewDeclarationLanguageFactory
        viewDeclarationLanguage) {
        wrapped_ = viewDeclarationLanguage;
    }

    @Override
    public ViewDeclarationLanguage getViewDeclarationLanguage(String
        viewId) {
        return new VdlLogger(wrapped_.getViewDeclarationLanguage(viewId)
            );
    }

    @Override
    public ViewDeclarationLanguageFactory getWrapped() { return wrapped_
        ; }
}

```

Listing E.3: Einbindung Factory

```

<factory>
  <view-declaration-language-factory>
    de.wedekind.utils.VdlLoggerFactory
  </view-declaration-language-factory>
</factory>

```

LITERATUR

- [Ibm] 2023. URL: <https://www.ibm.com/docs/de/was/8.5.5?topic=applications-configuring-openjpa-caching-improve-performance> (besucht am 24.09.2023).
- [Posa] 2023. URL: <https://postgrespro.com/docs/postgresql/14/runtime-config-resource> (besucht am 27.12.2023).
- [Posb] 2023. URL: <https://www.postgresql.org/docs/8.4/pgstatstatements.html> (besucht am 27.12.2023).
- [Posc] 2024. URL: <https://www.postgresql.org/docs/current/runtime-config-resource.html> (besucht am 27.03.2024).
- [Con] *Config - Too small work_mem · pganalyze*. URL: https://pganalyze.com/docs/checks/settings/work_mem (besucht am 12.09.2024).
- [DP] DFG-Projekt. *DFG-Projekt: Edition der Korrespondenz Frank Wedekinds als Online-Volltextdatenbank - FernUniversität in Hagen*. URL: <https://www.fernuni-hagen.de/dbis/forschung/wedekind.shtml> (besucht am 28.09.2024).
- [Dok] *Dokumentenliste mit Native Query und Materialized View (b1f4c93d) · Commits · Wedekind / briefdb 2.0 · GitLab*. URL: <https://code.dbis-pro1.fernuni-hagen.de/wedekind/briefdb-2.0/-/commit/b1f4c93d49ba31bf4da49845f47b5656e23aa76e> (besucht am 21.09.2024).
- [DNB21] Henrietta Dombrowskaya, Boris Novikov und Anna Bailliekova. *PostgreSQL Query Optimization - The Ultimate Guide to Building Efficient Queries*. Berkeley, CA: Apress, 2021. ISBN: 978-1-4842-6885-8. DOI: 10.1007/978-1-4842-6885-8. eprint: <https://link.springer.com/book/10.1007/978-1-4842-6885-8>. URL: <https://link.springer.com/book/10.1007/978-1-4842-6885-8>.
- [EH13] Peter Eisentraut und Bernd Helmle. *PostgreSQL-Administration*. Köln: O'Reilly Germany, 2013. ISBN: 978-3-868-99362-2.
- [Mar23] AK Prof. Dr. Ariane Martin. *Frank Wedekind | FB 05 - AK Prof. Dr. Ariane Martin*. 2023. URL: <https://www.martin.germanistik.uni-mainz.de/forschung/frank-wedekind/> (besucht am 24.09.2023).
- [MW12] Bernd Müller und Harald Wehr. *Java Persistence API 2*. München: Carl Hanser Verlag GmbH & Co. KG, 2012. DOI: 10.3139/9783446431294. eprint: <https://www.hanser-elibrary.com/doi/pdf/10.3139/9783446431294>. URL: <https://www.hanser-elibrary.com/doi/abs/10.3139/9783446431294>.
- [Posd] *PostgreSQL: Documentation: 16: 54.27. pg_stats*. URL: <https://www.postgresql.org/docs/current/view-pg-stats.html> (besucht am 14.09.2024).

- [WRY17] Brett Walenz, Sudeepa Roy und Jun Yang. "Optimizing Iceberg Queries with Complex Joins". In: *Proceedings of the 2017 ACM International Conference on Management of Data*. SIGMOD '17. Chicago, Illinois, USA: Association for Computing Machinery, 2017, 1243–1258. ISBN: 9781450341974. DOI: 10.1145/3035918.3064053. URL: <https://doi.org/10.1145/3035918.3064053>.